



(12) 发明专利申请

(10) 申请公布号 CN 104085533 A

(43) 申请公布日 2014. 10. 08

(21) 申请号 201410228828. 2

(51) Int. Cl.

(22) 申请日 2005. 08. 01

B64D 23/00(2006. 01)

A63G 31/00(2006. 01)

(30) 优先权数据

10/909, 088 2004. 07. 30 US

11/184, 940 2005. 07. 19 US

(62) 分案原申请数据

200580025819. 2 2005. 08. 01

(71) 申请人 斯凯旺蒂尔有限责任公司

地址 美国得克萨斯

(72) 发明人 N. · 艾伦 · 迈特尼 威廉 · 基钦

肯尼斯 · W. · 莫特

查理 · N. · 伊斯特莱克

迈克尔 · J. · 帕尔默

(74) 专利代理机构 北京派特恩知识产权代理有

限公司 11270

代理人 胡春光 张颖玲

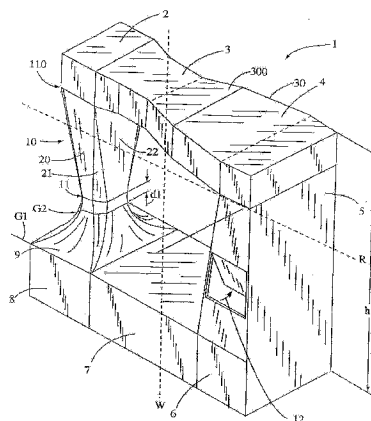
权利要求书2页 说明书11页 附图20页

(54) 发明名称

再循环垂直风洞跳伞模拟器以及用于风洞和其他场所的减阻缆绳

(57) 摘要

一种垂直风洞飞行模拟器包括飞行舱, 飞行者可以在其中经历自由下落模拟。支承飞行者的气流经过管道利用连接在飞行舱上的风扇导入。具有向飞行舱开口的分段区域与飞行舱相邻。一个或两个回流空气管道被用于使空气从风扇出口流回风扇入口。在至少一个管道部分上包括相对的气窗, 由此通过使外界空气强制进入模拟器内来调节温度。采用具有发散壁的多个管道部分因降低了高度而提高了系统的商业价值。在顶部上和壁后面的安装部件形成了对飞行中人的引人注目的步行观察景象。



1. 一种竖直风洞自由下落模拟器,包括:
具有大体矩形构造的再循环气流风室;
竖直飞行舱 (10、1503、2202),其能够使得容置在所述气流风室的第一竖直元件内的至少一个人进行浮动;
大体矩形构造的一个或两个回流管道,每个回流管道包括顶部水平元件 (30) 和第二竖直元件 (5),
每个回流管道连接到底部水平风室 (7);
以及每个回流管道中的至少一个风扇组件 (3),其中每个回流管道中的所述至少一个风扇组件包括多个风扇。
2. 如权利要求 1 所述的模拟器,所述模拟器具有一个回流管道,所述回流管道包括所述顶部水平元件 (30)、所述第二竖直元件 (5),并且连接到所述底部水平元件 (7),所述第一竖直元件为第一竖直侧元件,所述第二竖直元件为大体矩形构造的第二竖直侧元件,所述回流管道进一步包括所述顶部水平元件和所述底部水平元件。
3. 如权利要求 1 所述的模拟器,所述模拟器具有两个回流管道,每个回流管道包括顶部水平风室、第二风室 (5),并且连接到底部水平风室 (7);所述大体矩形构造包括所述顶部元件、所述第二竖直侧元件和所述两个回流管道的底部元件,所述气流风室的所述第一竖直元件为所述大体矩形构造的中心竖直元件。
4. 如权利要求 1-3 中任一项所述的模拟器,所述竖直飞行舱 (10、1503、2202) 位于所述至少一个风扇组件 (3) 的入口侧。
5. 如权利要求 1-3 中任一项所述的模拟器,每个回流管道中的所述至少一个风扇组件 (3) 包括多个风扇,所述多个风扇水平安装在每个回流管道的所述水平顶部元件中。
6. 如权利要求 4 所述的模拟器,其中,所述多个风扇以并排布置的方式被安装。
7. 如权利要求 5 所述的模拟器,其中,所述多个风扇以并排布置的方式被安装。
8. 如权利要求 1-3 中任一项所述的模拟器,所述大体矩形构造的每个回流管道的所述水平顶部元件 (30)、第二竖直侧元件 (5) 和所述水平底部元件 (7) 各自具有发散壁部分,以扩大再循环空气的流动,同时保持大体层流的气流。
9. 如权利要求 4 所述的模拟器,所述大体矩形构造的每个回流管道的所述水平顶部元件 (30)、第二竖直侧元件 (5) 和所述水平底部元件 (7) 各自具有发散壁部分,以扩大再循环空气的流动,同时保持大体层流的气流。
10. 如权利要求 5 所述的模拟器,所述大体矩形构造的每个回流管道的所述水平顶部元件 (30)、第二竖直侧元件 (5) 和所述水平底部元件 (7) 各自具有发散壁部分,以扩大再循环空气的流动,同时保持大体层流的气流。
11. 如权利要求 1-3 中任一项所述的模拟器,其中,所述顶部元件的最上部在大体矩形构造的底部元件的最下部之上不超过大约 15-36m25 (50-120 英尺)。
12. 如权利要求 6 所述的模拟器,其中,风扇组件 (3) 的所述风扇 (40、41) 以相对相邻风扇非平行的方式布置,并远离它们之间的中心线。
13. 如权利要求 12 所述的模拟器,其中,风扇组件 (3) 的所述风扇 (40、41) 的非平行排列是由于所述风扇 (40、41) 的风扇平面 (P41、P42) 向下倾斜以形成锐角 (P43)。
14. 如权利要求 1-3 中任一项所述的模拟器,其中,风扇组件 (3) 的每个风扇 (40、41)

被布置在作为扩散器的风扇壳体 (1300) 中, 并且优选地所述风扇壳体的尺寸被设计成: 在考虑通过头锥、风扇中心体和尾锥所遮蔽的风扇中心的区域之后, 使得穿过风扇的净流动区域在不形成流动分离的情况下尽可能地大增加。

15. 如权利要求 1-3 中任一项所述的模拟器, 其中, 所述气流风室的底部元件 (7) 具有发散壁。

16. 如权利要求 1-3 中任一项所述的模拟器, 所述模拟器还包括具有空气入口气窗的温度调节器, 所述空气入口气窗在连通空气出口气窗的管道元件内位于空气出口气窗的相对侧, 其中通过气窗形成加速喷口, 由此产生静压降低的区域并将外部空气吸入所述空气入口。

17. 如权利要求 16 所述的模拟器, 其中, 所述出口气窗在管道元件内面对上游, 并且入口气窗在管道元件内面对下游, 由此形成加速喷口。

18. 如权利要求 1-3 中任一项所述的模拟器, 其中, 所述飞行舱还包括具有机械安全网的底部, 并且还包括顶部, 所述顶部具有人传感器, 其中人传感器与控制器相连, 从而在感测到人在靠近顶部飞行时控制器使再循环空气的流动变慢。

19. 如权利要求 18 所述的模拟器, 其中, 所述控制器还包括起到使至少一个风扇变慢的作用的风扇控制装置。

20. 如权利要求 18 所述的模拟器, 其中, 所述风扇控制装置还包括暂时减小流向至少一个风扇的电流的风扇功率控制模块。

21. 如权利要求 1-3 中任一项所述的模拟器, 其中, 所述垂直飞行舱还包括具有多个舱装置的分段区域, 所述多个舱装置起到能够从所述垂直飞行舱进和出的作用, 同时维持可对穿过飞行舱的飞行气流进行操作。

22. 如权利要求 1-3 中任一项所述的模拟器, 其中, 所述飞行舱具有入口门, 所述入口门具有处于所述入口门的下游底边缘的偏转器。

再循环竖直风洞跳伞模拟器以及用于风洞和其他场所的减阻缆绳

[0001] 本申请是申请日为 2005 年 8 月 1 日, 申请号为 CN200580025819.2 (国际申请号为 PCT/US2005027750) 的进入中国国家阶段的 PCT 申请的分案申请。

[0002] 交叉引用的申请

[0003] 本申请要求以 2005 年 7 月 19 日提交的美国专利申请系列号 11/184,940 作为优先权, 其作为 2004 年 7 月 30 日提交的美国专利申请系列号 10/909,088 的部分继续申请。

技术领域

[0004] 本申请涉及竖直风洞领域, 更具体地说涉及用作跳伞模拟器和娱乐装置的温控回流竖直风洞。

背景技术

[0005] 风洞在现有技术中众所周知。可以根据用户的需要获得许多类型和型式的风洞。这些风洞包括具有和不具有回流的亚音速风洞、具有和不具有回流的跨音速风洞、具有和不具有回流的竖直亚音速风洞、具有和不具有回流的超音速和特超音速风洞、以及可压缩流动风洞。

[0006] 大多数风洞被用于研究和测试目的。这些包括常规飞行器、直升机、降落伞以及其他空气动力装置、翼表面、控制表面、潜水艇、火箭以及其他运载工具、陆地车辆、建筑物的测试以及其他基本流动试验。

[0007] 水平风洞(空气在风洞的全速段基本上水平流动的风洞)被用于空气动力学研究和测试, 并且由通常从事重点防御的公司、联邦政府、或者教育机构和大学所掌握。其中的一些已经被转换为或适于竖直操作(其中空气在风洞的全速段基本上竖直流动的风洞), 但它们中的大多数或全部在那方面的作用很差。

[0008] 对被用于模拟自由下落的竖直风洞施加的设计限制与水平测试风洞不同。在竖直风洞/自由下落模拟器中, 重要的是在风洞全速段的物体(在本申请中是飞行中的人)能够在所述段内四处移动, 以经历或经历人体飞行。水平测试风洞中, 在风洞中放置的物体通常是可被其他人观察或测量的静态物体。出于这一原因, 水平风洞的这一最快部分被称为“测试段”。在竖直风洞中, 这一相同区域又被称为“飞行腔”。

[0009] 在竖直风洞中, 重要的是可以在不停止气流的情况下使风洞内飞行的人旋转到飞行舱内和旋转出飞行舱。相比之下, 操作过程中几乎不需要在水平风洞的测试段移动静态物体。此外, 由于竖直风洞内的飞行者在飞行舱内自由四处移动, 因此必须将它们移动限定在系统的适当部分。

[0010] 尽管可以在飞行舱的上游端和下游端都放置安全网, 但这样产生巨大的阻力, 从而形成噪声并增加获得任意给定速度所需的功率。实际上, 这样一对网可以消耗的功率达到操作所述风洞所需的总功率的 30% - 50%。

[0011] 在飞行舱的底端或上游端设置缆绳编织网格以作为乘坐者不飞行时的站立平台

也是有益的。这种“缆绳底面”为飞行舱内的安全工作人员或指导人员提供了方便的工作平台。

[0012] 因此,处于以上安全和可用性原因,需要使缆绳底面/安全网可以由给定强度和直径的具有最低空气动力学阻力的缆绳制成。除了风洞之外,还有许多应用场合采用穿过空气移动的缆绳或者流过缆绳的空气,其中简单且廉价的减阻缆绳可以具有很大的益处。

[0013] 具有平的或翼型横截面的低阻缆绳在本领域是已知的,并且在航空工业中频繁使用。然而,这些缆绳不适用于竖直风洞的编织缆绳底面,因为难以保持所述缆绳相对于气流进行准确定位。此外,这种平的或翼型缆绳的下游端是尖的。由于落在缆绳底面/安全网上的人将降落在该下游端上,因此这种类型的缆绳用在所述应用中是不安全的。出于类似的定位、稳定性、成本或潜在损伤的原因,现有技术中的翼型缆绳不能用于需要低阻缆绳的一些其他类型的应用中。

[0014] 同样重要的是,需要防止乘坐者横向飞到空气柱外并且未得到支撑地向下落向底面。出于这一原因,最先进的竖直风洞被设计成使得空气柱从飞行舱的一个壁完全延伸到另一个壁。这在水平风洞中是不必要的。

[0015] 用于模拟自由下落的竖直风洞经常必须在噪声敏感环境例如游乐园和购物中心中进行操作。水平测试的风洞可以远离人群,在那里它们可以任意制造所需的噪声。

[0016] 作为娱乐装置,自由下落模拟器必须在价格上与其他娱乐设备竞争,并且经常接近频繁地被操作。这两个因素使能量效率对自由下落模拟器的成功商业运作很关键。能量效率对水平测试的风洞不太重要;在水平测试的风洞中,可以花费几小时和几天构建试验台,并随后为了采集所需数据仅运行风洞几分钟。

[0017] 高度是自由下落模拟器的主要限制,该自由下落模拟器直立并且经常必须定位在具有严格高度限制的高密度娱乐场所。这种情况在水平测试的风洞上不存在,该水平测试的风洞侧立并且成功地远离任何人群。

[0018] 最后,没有任何已知的现有技术致力于设计这些系统,以优化高密度娱乐场所中公众的可视性。

[0019] 为了使商业上可行的竖直风洞用于跳伞模拟,必须使得:(1) 移动足量空气并足够平稳地移动空气,以充分模拟一个或多个人在飞行舱内的自由下落;(2) 具有足够短且足够安静以位于往往存在大量潜在用户的地方的装置;以及(3) 功率消耗水平足够低以使体验价格为公众所接受。

[0020] 满足这些竞争要求的发明难题可通过本发明的装置来解决。在飞行舱内需要高气流速度以使一个或多个人浮动。然而,使空气高速移动穿过通风管道形成了大量的噪声和热并且需要较大功率。因此,大多现代的风洞扩大并适当地使飞行舱下游的空气变慢以降低功率消耗、噪声输出以及热产生。这样做可以降低功率超过60%,并且仅通过这种方式竖直风洞作为娱乐装置或跳伞模拟器在商业上变得可行。

[0021] 然而,如果使风洞的任何段上的气流扩大太快,则流动将“分离”并且变为紊流而不是层流。这将使整个系统性能变差,从而增加功率消耗并降低流动质量直到所述装置不能充分模拟真实自由下落的程度。在扩大的管道中发生流动分离的临界点在文献中得到了很好的限定,简而言之,所述扩大锥体的壁不能相互发散大于9-12度。出于这一原因,增加水平测试风洞的长度或者竖直风洞的高度往往可以提高效率。

[0022] 不幸的是,尽管这一点对于水平系统很容易实现,但在垂直系统中这样做会显著提高构造和操作成本,并降低可以获得政府批准建设的地点的数量。因此,将高度降至最低同时使飞行舱下游气流的扩大和减速最大化,是垂直风洞在商业上取得成功的关键。类似地,在不增加阻力和动力消耗的情况下限制风洞安全区域的乘坐者是必要的。

[0023] 现有技术的风洞没有这样的设计,其具有足够安静和短以建造在高密度购物和娱乐场所,同时保持足够地高效以使商业上操作可行。

[0024] 相关领域的上述实例以及与其相关的局限性被用于示例而不是唯一地。在阅读说明书并研究附图后,本领域技术人员将会清楚地了解到相关领域的其他局限性。

发明内容

[0025] 本发明的一方面是提供一种垂直风洞娱乐装置,其具有位于多个风扇入口侧的飞行舱,所述风扇又与多个扩大的回流空气管道相连,由此将效率提高到最大,同时将娱乐装置的高度降至最小。

[0026] 本发明的另一方面是提供一种垂直风洞,其具有在风扇入口侧的飞行舱以提高气流速度和质量,使飞行者具有更低的功率消耗和更高的安全性。

[0027] 本发明的另一方面是提供一种垂直风洞,其具有多个更小的风扇,所述风扇以非平行的方式倾斜排列,而不是单个的维修更昂贵和难以维护的风扇。

[0028] 本发明的另一方面是提供一种垂直风洞,其具有一个或多个回流空气管道以保存热量、减小能量消耗、减小噪声并可以全天候操作。

[0029] 本发明的另一方面是提供一种垂直风洞,尽管其可以具有比回流管道更大数量的风扇,但其可仅具有一个或两个回流管道。

[0030] 本发明的另一方面是提供一种垂直风洞,其具有容纳在下轮廓扩散外壳内的风扇,所述扩散外壳使风扇尽可能地安装得靠近在一起,使得在无需设置增加整个系统高度或宽度的长过渡管道的情况下多个风扇可以与每个回流空气管道相连。

[0031] 本发明的另一方面是提供一种垂直风洞,其具有带可调节入口/出口门的被动换气系统,所述门通过机械方式从系统中排出受热空气并吸入更冷的外界空气,以通过风扇最小的额外功来最有效地控制风洞内的温度。

[0032] 本发明的另一方面是提供一种垂直风洞,其中可调节入口/出口门被布置成使得它们还形成“喷口”或流动收缩段,由此在风洞的内部和外部之间形成有利的压力梯度并促进换气,从而通过风扇最小的额外功并且在不采用其他更高成本的空气冷去技术的情况下有效地控制风洞内的温度。

[0033] 本发明的另一方面是提供一种垂直风洞,其具有由特别设计的缆绳(优选为钢制)制成的筛网“底面(floor)”,从而产生比常规缆绳更小的阻力并由此产生更小的噪声。

[0034] 本发明的另一方面是提供一种垂直风洞,其具有被设计成防止飞行者在飞行舱内移动太高并能够快速调节空气速度以使飞行者回落并将它们保持在安全位置的一个或多个零阻力电子上侧屏障。

[0035] 本发明的另一方面是提供一种垂直风洞,其在给定效率下具有最低允许总高度,以减小构造成本并满足公众政府对建筑物高度的限制。

[0036] 本发明的另一方面是提供一种垂直风洞,其通过不仅将主扩散器设置在飞行舱的

正下游,而且使飞行舱下游的大多数或全部部件在不形成流动分离的情况下尽可能快速地向空气扩大来优化高度。

[0037] 本发明的另一方面是提供一种竖直风洞,通过在穿过飞行舱时在不形成分离的情况下尽可能多地扩大空气来优化高度。这种扩散飞行舱还可以被认为是零高度飞行舱或零长度测试段。

[0038] 本发明的另一方面是提供一种零高度飞行舱,其中飞行者在扩大的扩散器舱内飞行,空气速度在他们飞得更高时减小,由此在舱内形成自动拦截的流动以在飞行者下降时使他或她变慢。

[0039] 本发明的另一方面是提供一种在移动的空气中具有减小的阻力和噪声的缆绳。

[0040] 从参照形成说明书一部分的附图做出的以下描述和附加权利要求中,将会清楚地了解到本发明的其他方面,其中相同的附图标记表示几幅附图中的同一部件。

[0041] 为了降低乘坐者从空气柱中下落并使自身受到损伤的危险,空气柱从飞行舱的一个壁完全延伸到另一个壁。这种“壁到壁”的气流还减小了空气柱边缘的阻力并提高了整个系统的效率。气流穿过“缆绳底面”进入飞行舱内。当穿过飞行舱的气流不足以支承使用者时,缆绳底面提供了对他们的支承。缆绳底面由减阻缆绳制成,所述缆绳包括特定定向和特定尺寸的圆形股线的集结。这些缆绳还可以被用于空气中的阻力降低有利的任何应用中。

[0042] 在飞行舱的上(或下游)端或在其附近,由一个或多个电子(优选为光学)传感器组成的“虚拟网”监测乘坐者(多个乘坐者)在飞行舱内的位置。在所公开的实施方式中,如果乘坐者(多个乘坐者)在飞行舱内飞得太高,则控制系统自动降低速度。

[0043] 飞行舱可以是圆形、椭圆形或多边形,并且面积范围在略小于 75 平方英尺到超过 160 平方英尺。飞行舱一次可以容纳六个使用者。飞行舱内的气流速度可以高达 160+mph,这样完全可以支承多达六个使用者。在优选实施方式中,飞行舱的一个或多个壁包括或包含由透明 **Plexiglas®**、丙烯酸塑料、玻璃或类似高强度透明材料构成的平的或弯曲的窗口。当存在时,通向飞行舱的窗口允许不受限制地观察其中发生的活动。

[0044] 与飞行舱相邻的是分段区域。飞行舱可以具有通向分段区域的入口和出口,使用者或多个使用者可以穿过入口和出口进入和退出飞行舱。在某些实施方式中乘坐者不会频繁地旋转进出飞行舱,这些口可以装有门,所述门滑动、滚动或通过其他方式移动以关闭这些口中的一个或两个。使用者在分段区域内等待轮到他们进入飞行舱。分段区域具有透明窗口,使得观察者可以在不进入分段区域的情况下观察飞行舱内的任何人(多个人)的飞行。分段区域具有周期性打开的单个或多个门以使人们可以退出整个系统。分段区域还可以装有可选择的“背负式(piggyback)”或辅助分段区域。这样形成了气锁,在无需气流停止的情况下允许团队从系统外部旋转进出分段区域。

[0045] 飞行舱上部的每个门通道上方(下游)的区域包括穿孔板,其在使用者进入和退出飞行舱时提供备选的气流通道。在优选实施方式中,小流量偏转器还可以定位在缆绳底面的下方(上游)(该缆绳底面处于飞行舱和分段区域之间的每个开口的正下方)以将在它们之间移动的空气量降至最小并减小所需的平衡量。

[0046] 风扇和其他控制装置可以从分段区域内部、飞行舱内部或者从相连的或远程控制室进行操作。控制风扇以获得穿过飞行舱的最佳流动速度。

[0047] 紧靠穿孔部分上方是主发散扩散器。主扩散器从主轴以大致 3.5 度 -5 度发散，从而提供 7 度 -10 度的“等效锥角”。增加横截面面积减小了从飞行舱到风扇的气流速度。在主扩散器上方（或下游）是可以包括第一组高效转向叶片的上部风室。在单个回流系统中，这些转向叶片（或者如果不采用任何叶片则简单地是风室）从基本上垂直到基本上水平使气流重新定向。在多回流系统中，这些叶片（或者如果不采用任何叶片则简单地是风室）将空气分成基本上相等的流动并使每个流动从基本上垂直变为基本上水平。

[0048] 气流随后穿过入口管道并进入风扇。风扇入口管道使流动从大致正方形或矩形过渡到大致圆形。在优选实施方式中，风扇入口管道作为在不形成流动分离的情况下尽可能大地扩大流动区域的扩散器。尽管如此适用于风洞的任何风扇都是可以接受的，风扇优选是高效轴流风扇。在优选实施方式中，风扇包含弹头形头锥和泪珠形尾锥。在优选实施方式中，风扇壳体作为扩散器并且尺寸被设计成在考虑通过头锥、风扇中心体和尾锥所遮蔽的风扇中心的区域之后，穿过风扇的净流区域在不形成流动分离的情况下提高的尽可能地大。本发明的气流速度通过改变风扇的倾角或者通过改变风扇的旋转速度而得到控制。

[0049] 气流穿过风扇并进入排出管道，这样又从大致圆形过渡到大致正方形或矩形。在优选实施方式中，排出管道作为在不形成流动分离的情况下尽可能大地扩大气流的扩散器。气流穿过一组排出通道到达第二组高效转向叶片（如果采用的话），这样又使空气从基本上水平变为基本上竖直。

[0050] 气流随后进入回流空气管道。在优选实施方式中，这些回流空气管道形状还被设计成发散扩散器，从而在不形成流动分离的情况下尽可能大地扩大气流。在优选实施方式中，每个回流空气管道具有换气机构，其由定位在回流空气管道相对面上的偶数个气窗组成。这些气窗位置和尺寸被设计成使得它们一起在靠近气窗的流动区域上形成喷口或突然收缩段。该喷口（增加）降低了系统那一位置处的（动）静压，并有助于受热空气穿过排气窗从风洞中排出。这样降低了系统内的压力并且有助于入口气窗从系统外吸入更冷的外界空气。这种结构允许用更冷的外界空气替换系统内的受热空气，由此在无需设置昂贵的备用装置例如空调或蒸发冷却装置的情况下允许使用者为了飞行者的舒适性调节飞行舱内的温度。

[0051] 在回流空气塔的底（或下游）端，空气再次穿过一组转向叶片（或者在不采用任何叶片时简单地是具有 90 度转向的管道），这样使空气从基本上竖直重新定向为基本上水平路径。空气随后进入底部风室，所述风室也可以作为在不导致流动分离的情况下尽可能大地扩大空气的发散扩散器。在底部风室的端部或（下游）端，空气再次穿过一组转向叶片（或者在不采用任何叶片时简单地是具有 90 度转向的管道），这样使空气从基本上水平重新定向为基本上竖直路径。在多回流系统中，流动在这一位置重新结合。

[0052] 空气随后进入入口收缩器内。这一喇叭形或铃形装置快速减小流动区域，并使空气刚好在飞行舱之前加速到其最大速度。在此，空气动力学法则决定了在不有损流动质量的情况下流动区域可以减小的迅速程度。

附图说明

[0053] 图 1 是单个回流模拟器的顶部透视图。

[0054] 图 2 是图 1 所示实施方式的剖切图。

- [0055] 图 3 是图 1 所示飞行舱的顶部透视图。
- [0056] 图 4 是椭圆形出口、矩形入口的气流收缩器的顶部平面图。
- [0057] 图 5 是气流收缩器的椭圆 / 多边形出口的示意图。
- [0058] 图 6 是椭圆形出口的气流收缩器的示意图。
- [0059] 图 7 是椭圆形观察区域的示意图。
- [0060] 图 8 是双气锁分段区域的顶部透视图。
- [0061] 图 9 是温度调节器的示意图。
- [0062] 图 10 是图 9 所示温度调节器的侧向剖切图。
- [0063] 图 11 是在飞行舱入口门上的偏转器的顶部透视图。
- [0064] 图 12 是偏转器的近视图。
- [0065] 图 13 是风扇和壳体的侧向剖切图。
- [0066] 图 14 是安装成从它们之间的中心线发散的两个风扇和壳体的侧向剖切图。
- [0067] 图 15 是两个回流模拟器的顶部透视图。
- [0068] 图 16 是图 15 所示实施方式的剖切图。
- [0069] 图 17 是 V 形足迹的两个回流模拟器的示意图。
- [0070] 图 18 是在商业区中的 V 形足迹的两个回流模拟器的示意图。
- [0071] 图 19 是在建筑物中的多模拟器构造的示意图。
- [0072] 图 20 是用于模拟器的商业区式观察区域的侧向透视图。
- [0073] 图 21 是双收缩器（一个在地下且水平）系统的示意图。
- [0074] 图 21A 是沿图 21 所示的线 21A-21A 截取的剖视图。
- [0075] 图 22 是缆绳底面的顶部透视图。
- [0076] 图 23 是底面传感器 / 关闭系统的示意图。
- [0077] 图 24 是倒圆形扩散器的顶部透视图。
- [0078] 图 25 是具有水冷模拟器的巡航船的示意图。
- [0079] 图 26 是减阻缆绳第一实施方式的侧向透视图。
- [0080] 图 27 是第二实施方式的缆绳的视图。
- [0081] 图 28 是第三实施方式的缆绳的视图。
- [0082] 图 29 是具有单个外股线的缆绳的横截面示意图,所述外股线的尺寸与另一外股线不同。
- [0083] 图 30 是减阻缆绳另一实施方式的横截面示意图。
- [0084] 图 31 是具有单个更大丝索的减阻缆绳另一实施方式的横截面示意图。
- [0085] 图 32 是具有两个更小丝索的减阻缆绳另一实施方式的横截面示意图。
- [0086] 图 33 是具有大股线的缆绳的透视图。
- [0087] 图 34 是具有两个更小股线的缆绳的透视图。
- [0088] 图 35 是表示一些所披露的缆绳的阻力降低的曲线图。
- [0089] 在详细说明本发明公开的实施方式之前,应该认识到本发明并不局限于应用所示的具体结构的细节,因为本发明能够有其他实施方式。同样,在此采用的术语是为了描述而不是限制。

具体实施方式

[0090] 首先参照图 1, 示出了单个回流模拟器 1, 其中高度 L_1 优选在大约 50 英尺 -120 英尺范围。一些设备会将所有部件埋在 G_1 或 G_2 的地平面以下。飞行舱 10 可以完全或部分由透明板制成。如果地平面在 G_2 , 则在区域 d_1 形成不透明支座式图像, 其高度可以是大约 7 英尺。在商业区中, 本实施方式在飞行舱 10 中形成引人注目的、灵活动作的人飞行室。该设计会吸引新的“发行者”愿意在飞行舱 10 中体验模拟的跳伞。虚线 R 表示舱顶, 其中 R 以上的部件可以是舱顶安装以降低噪声。虚线 W 表示壁, 其中远离飞行舱 10 超出壁 W 的部件可以与飞行舱分隔, 以降低飞行舱 10 附近的噪声。

[0091] 大多现有技术中的飞行舱在飞行舱中设置平行壁, 使得经历的飞行者在大约每小时 140 英里的恒定风速执行操纵。模拟器 1 具有沿高程 11 的“零高度”飞行舱。高程 11 是使气流收缩器 9 与气流扩散器 10 相连接的线, 其中扩散器 10 具有发散壁 20, 21, 22 等等, 并且扩散器 10 还作为飞行舱 10。

[0092] 名义上, 在线 11 处的空气速度在大约 140mph, 这是模拟器中的最大速度。当飞行者在飞行舱 10 中行进的最高直到飞行舱 10 顶部的连接处 110 时, 空气速度可以下落到大约 120mph。飞行者可以将他们的阻力轮廓从最大展翼鹰位置变为最小的人球形位置。因此, 如果飞行者上升到飞行舱 10 的顶部并随后将他的阻力变为人类球形状时, 他将下落。由于空气速度提高且每次增量下降地进入飞行舱 10 内, 因此飞行舱 10 的扩散器形状提供了自制动系统。安全网设置在线 11 上。

[0093] 换向器 2 在连接处 110 与扩散器 10 相交。空气在换向器 2 中从竖直路径转换为水平路径。所有的换向器 2, 4, 6, 8 都使空气方向改变大约 90 度。

[0094] 风扇组件 3 可以利用两个并排风扇使空气加速。回流空气模拟器中的基础空气动力性能包括在能量效率、噪声和尺寸上的折中。在最简单的设计中, 试图保持气流在穿过模拟器的整个回路中接近全速。然而, 高度必须提高, 噪声很大, 并且风室中摩擦产生的热量很多。因此, 为了更有效的操作, 必须在空气穿过模拟器回路的行进过程中通过扩大风室 (plenum) 的横截面积而使空气减慢, 以获得商业上可接受的高度 h_1 以及噪声水平, 同时试图可以对风扇采用最小的马力。

[0095] 换向器 2, 4, 6, 8 通常因成本构造考虑而不具有发散壁。风扇壳体部分 300 和风扇部分 3 具有发散壁。顶部风室 30 具有发散壁。竖直回流风室 5 具有发散壁。底部风室 7 因成本构造上的折衷而不具有发散壁。底部风室 7 可以具有发散壁。

[0096] 气流收缩器 9 具有使风室区域截面变窄的收敛壁作用, 由此使空气加速到大约 140mph 以进行飞行模拟。空气入口 12 引入外界空气以冷却模拟器空气。

[0097] 下面参照图 2, 示出了模拟器内部工作装置的示意图。通过箭头 F 表示气流。换向翼片 200, 201, 202, 203 各自使气流方向改变 90 度。示意性示出的两个风扇 40, 41 水平并排安装在其壳体 3 内 (参照图 13 的透视图), 其中风室扩散器 300 在风扇正后方使气流扩张和变慢。扩散在顶部风室 30 内并随后在竖直回流风室 5 内持续, 最后穿过飞行舱 10。

[0098] 通过使空气入口 12 的气窗 120 面向下游来设置被动温度调节系统。另外, 空气出口 26 具有面向上游的气窗 260。通过在相对出口 26 附近安装入口 12, 由气窗 120, 260 形成渐缩喷口, 由此从入口 12 朝向下游形成降低静压区域 V。因此, 在不采用额外风扇的情况下外界空气被 (被动强制) 吸入模拟器 1 内。

[0099] 下面参照图 3, 扩散器 / 飞行舱 10 呈基底 B 所示的多边形 (八边形)。基底 B 由安全网覆盖。壁 20, 21, 22 等以范围在大约 7-12 度的最佳空气动力学角度相互发散。飞行舱 10 的顶部如箭头 110 所示为矩形。壁 20, 21, 22 等中的所有或一些可以是透明的。

[0100] 下面参照图 4, 气流收缩器 400 优选设计是具有矩形入口 401 和椭圆形出口 402。过渡壁 403 收缩从入口 403 到出口 402 的气流。优选地在图 2 中, 有时埋在地下的高度 h_2 等于长度 d_4 。这种形状和尺寸的组合形成对相对较低高度的成本效率平衡以及商业上可行的模拟器 1。

[0101] 下面参照图 5, 6, 7, 术语“椭圆形出口”的气流收缩器覆盖了任何椭圆形形状例如多边形椭圆形出口 500 和理想的椭圆形出口 600。椭圆形形状与具有相同横截面面积的圆形出口相比提供更大的观察区域 700。区域 701 包括分段和进口区域。飞行舱底部 B1 可以处于商业区, 具有昂贵的零售空间, 其中更大的观察区域 700 具有相当大的商业价值。

[0102] 下面参照图 8, 两段式分段舱 800 包括具有飞行舱壁 809 的飞行舱底部 B2 和飞行者入口 806, 807, 所述飞行舱壁 809 具有窗口 810。入口 806, 807 可以没有门或者具有铰接门或者具有滑动门。只要门 801, 805 被关闭, 风扇不必关闭以使飞行者进入 / 离开飞行舱 10。外界压力被示为 A。门 801, 805 从外界 A 向第一分段房间 802 和第二分段房间 804 开放。门 803 分隔分段房间 802, 804。在操作中, 一组飞行者进入房间 804, 同时门 803 关闭, 随后门 805 关闭。接着, 飞行者进入房间 802, 同时门 801, 805 关闭。使用了飞行者入口 806, 807。

[0103] 下面参照图 9, 10, 温度调节系统 1000 包括具有气流 F 的风室 5。出口 26 与入口 12 相对定位, 但略微向上游移动通过设计参数选定的距离 d_{11} 。优选地, 气窗 120, 260 可从控制室控制, 以改变从外界 A 到风室 5 的换气量。入口空气量 I 必须与出口空气量 O 接近。通过收缩并加速喷口 N 处的空气形成内部静压 V 的降低。

[0104] 用于在此公开的闭路风洞的换气系统包括在风洞的每个回流支腿中的两个较大气窗: 排气窗和进气窗。排气和进气窗定位并定向成使得在它们之间存在有利的相互作用。这一定位是该系统新颖性特征的一部分。

[0105] 排气窗的前缘偏转到风洞内并从风洞内引出空气。进气窗定位在排气窗的相对风洞壁上。其铰接线被设计成在设计安装时与排气窗的前缘排成一直线。进气窗的后缘偏转到风洞内。进气窗比排气窗偏转得更大, 以通过形成喷口 N 使内部气流速度提高。这一点是关键。这种速度的提高导致内部静压的降低 (伯努利法则)。更低的内部静压 (低于大气压) 实际上将空气吸入入口内。作为最小值, 进气窗具有与排气窗相同的弦长或长度。在一些风洞构造中, 要求进气窗具有比排气窗更大的长度或弦长以减小所需偏转。

[0106] 传统风洞空气交换器具有在风洞独立部分的排气和进气, 或者如果它们在风洞的同一部分, 则在两个气窗之间不存在有利的相互作用以促使所需的内部静压下降。其他设计已经采用屏幕或在排气下游和进气上游的一些其他产生阻力的装置, 来获得内部静压的下降, 以促使外部空气进入风洞。尽管这一点可行, 但其效率非常低。这样导致了不必要的总压力损失以及风洞性能的附加损失。经常需要另外的管道控制内部静压, 从而增加了构造成本。本发明避免了这些问题, 并以最低的功率损失实现了所需的换气。

[0107] 下面参照图 11, 12, 偏转器 1100 沿飞行者入口 1101, 1102 的底边缘布置, 以减小从飞行舱进入房间 802 的气流, 并由此将房间 802 内的空腔共振降至最小。偏转器 1100 具有

倾斜前缘 1103。该前缘 1103 在下游方向倾斜到飞行舱 10 内。飞行舱 10 可以为圆形而不是所示的多边形。可选择地,偏转器 1196 可以安装在门的顶部,在那里其从飞行舱中向内弯曲到分段区域内。

[0108] 下面参照图 13,14,以优选设计示出了图 2 的风扇 40,41。它们相对于所示中心线彼此略微远离地定向。风扇平面 P41, P42 向下游倾斜,从而形成锐角 P43。风扇罩(风扇罐)1300 在邻近叶片 1301 的部分之后具有发散壁 1302。名义上, W1 可以是 2.62 米(103 英寸),并且 W2 可以是 3.10 米(122 英寸)。风扇的交错可以有助于例如通过将风扇 41 的前部 149 移向虚线 1499 将两个风扇外壳 1300 而更靠近地放置在一起。这样减小了两个空气柱与风扇之间的距离,从而降低了回流风室的长度和高度。叶片(blade)1301 可以向前。

[0109] 下面参照图 15,16,示出了双回流模拟器 1500。与单个回流模拟器 1 在功能上等效的部件由同一附图标记给出,对它们无需进一步的描述。

[0110] 在该特定实施方式中,飞行舱 1503 具有平行壁而不是发散壁,以在其中提供相对恒定的气流。与双换向器 1505 相连的扩散器 1504 处于飞行舱 1503 的上方。双换向器 1505 具有两个换向翼片 1507,1508。风扇通风管道 1521 支承风扇 40,41。上扩散器 1520 如图所示与换向器 2,4 相连。右和左垂直回流风室 5 各自具有温度调节系统 1000。

[0111] 底风室 7 各自与双换向器 1501 相连。双换向器 1501 具有两个换向翼片 1505,1506。气流收缩器 1502 使气流加速进入飞行舱 1503 内。与图 2 所示两风扇的实施方式相比,可以利用如图所示的四个风扇支承更大的飞行舱 1503。

[0112] 下面参照图 17,双回流模拟器 1700 具有其中带有飞行舱 1701 的飞行舱 1701。空气回流部件 1702,1703 利用顶部平面图示出,形成从飞行舱 1701 延伸的 V 形构造(角度 1705 是锐角)。该模拟器 1700 的一个用途是如图所示的公共步行街,观察区域 VA 伸入到步行街 PW 内,同时部件 1702,1703 通过壁 W 得到隔音和隐藏。如上所述,风扇和相关的通风管道可以安装在顶部。

[0113] 下面参照图 18,另一 V 形模拟器 1800 被设定在不同的商业区环境中。步行街 PW 沿区域 1805 具有昂贵的零售店空间。不太昂贵的商业区空间 1899 可以具有存储区域,并且可容置回流空气部件 1801,1802。外壁 WOUT 如图所示地将回流空气部件 1803,1804 定位在外部。

[0114] 下面参照图 19,壁 W 形成由 PUBLIC 所示的封闭区域。示出了模拟器 1 和 1500 可行的构造。飞行中的人 1704 形成了由 PUBLIC 所示的激动人心的室内娱乐区域。

[0115] 下面参照图 20,示出了图 1 中的模拟器 1 的艺术家渲染图,其中商业区 2000 具有步行街 PW。在此采用的术语“商业区”包括带有游乐园的高人流密度的娱乐场所、剧场联合体、家庭娱乐中心以及大学校园。地平面 G_2 形成支座区域 d_1 ,使得公众向上看到透明飞行舱 10 的内部。售票区域 2001 可以与其他零售店前部合为一体。壁 W 和地平面 G_2 的屏蔽部件 5,6,7,8 以虚线示出。

[0116] 下面参照图 21 和 21A,示出了两段式气流收缩器。第一段收缩器 2111 是水平的并通向换向器 8。第二段收缩器 2112 是竖直的并通向飞行舱 10。模拟器 2110 可以将第一段收缩器 2112 埋入地下。结果使得第二段收缩器 2112 具有更小的噪声和高度。本发明可以使模拟器 2110 具有更低的总体高度。

[0117] 下面参照图 22,分段区域 2200 具有底部 B 由筛网 2201 组成的飞行舱 2202。

[0118] 形成飞行舱底面的筛网的一种实施方式是织成 2' × 2' (60cm × 60cm) 网格的 3/32-17- 股线的不锈钢航空缆绳。缆绳的一端或两端根据具体应用条件延伸穿过压缩弹簧。122 根缆绳组成了所示的风洞底面。缆绳的数量取决于飞行舱 2202 的形状和尺寸、飞行舱内计划进入的飞行者最大数量以及其他设计考虑。

[0119] 调节弹簧的挤压量以向地面提供适当的“弹跳”，从而在飞行者变得不稳定并落在缆绳底面上时使安全性提高。

[0120] 风洞观察壁

[0121] 具有 11 个大的 1-1/4' (31mm) 丙烯酸板,使处于分段 / 观察区域的控制者、飞行者和观众可以看到所示实施方式中飞行舱和飞行平台上的活动。板的数量取决于安装。具有大的丙烯酸板使观众可以看到控制室内部。

[0122] 下面参照图 23,飞行舱 10 具有飞行者传感器 2600,其采用能量波 2601(光、无线电、声、UV 等等)检测移动太高而进入飞行舱 10 内的飞行者。控制器 2602 可以由简单的开 / 关输出逻辑、或者电流调制器或者类似元件组成,其暂时降低气流以使飞行者落入飞行舱内。紧急通向外界的门 2604 还可以通过控制器 2602 打开。筛网 2605 还可以被用于防止飞行者行进得太高。

[0123] 下面参照图 24,另一扩散器 2700 也可以作为飞行舱。壁 2701 可以是三英寸丙烯酸板。椭圆形出口 2702 具有弯曲边缘。

[0124] 下面参照图 25,船 2850 具有带有海水冷却系统 2800 的模拟器 2801。海水入口 2851 通过流动控制器 2852 通向模拟器内的换热器 2853。空气温度传感器 2854 与温度控制器 2802 通信,以通过控制流动控制器 2852 将空气温度保持在设定点。

[0125] 图 26, 27, 28 提供了可以形成筛网的各种缆绳设计。基础空气动力学的教导是与钝头或平的轮廓相对的翼式轮廓可以减小阻力。如图 26 所示,缆绳 2300 具有带有外部螺旋形包套的标准扭绞元件芯 2301。

[0126] 如图 27 所示,缆绳 2400 具有缺少单个螺旋形元件 2402 的变形扭绞元件芯 2401。

[0127] 如图 28 所示,缆绳 2500 具有缺少双螺旋形元件 2502 的变形扭绞芯 2501。

[0128] 下面参照图 29,所示的缆绳 2900 的实施方式具有十八个股线。股线 2901 形成外缆绳周边,并具有大致相等的直径 d_1 。 D_1 在所示实施方式中大约为 0.4826mm (0.019 英寸)。股线 L19 完成外缆绳周边,并具有不同于 d_1 的直径 d_2 。在图 29 所示的实施方式中,以实线示出的股线 L19 具有大约 0.7112mm (0.028 英寸) 的更大直径。以虚线示出的股线 L19a 具有比股线 2901 更小的直径。

[0129] D_2 应该与 d_1 相差至少 10%,更为常见的是 D_2 与 d_1 相差 25% 或更多。在 d_2 大于 d_1 的那些实施方式中, d_2 可以是 d_1 尺寸的 250%。可以以类似的方式进行其他尺寸值的变化。但 d_2 更小时, d_2 的最小尺寸将利用结构考虑因素来决定。股线 L19a 必须具有足够的尺寸,从而不会在使用中断裂并且至少最低限度地分开保持两个相邻股线 2901。股线的数量将取决于采用缆绳的应用。理论上,可以根据本发明公开的内容制成具有 6 个或更多股线的缆绳并由此起作用。

[0130] 内股线 2902, 2903 可以具有与股线 2901 不同的直径,并形成缆绳 2900 的芯。中心股线 2903 可以具有与股线 2902 不同的直径。内股线 2902 和 2903 的直径与 L19 的直径 d_2 不相关。

[0131] 在所示的具有 L19 的缆绳 2900 的实施方式中, 比值 D_2/D_1 大约为 1.47, 其中直径 d_3 比平均股线直径 d_4 大约大 10%。缆绳 2900 是具有形成图 9 所示螺旋形脊的股线 L19 的扭绞股线形式。

[0132] 下面参照图 30, 缆绳 3000 具有直径为 d_5 的更大外周边的股线实线 L30。在所示实施方式中 d_5 是 0.8636mm(0.034'')。D1 与图 5 中相同。比值 D_2/D_1 大约为 1.79。长度 d_6 是在所示实施方式中周边表面范围 S 之上方的大约 0.5055mm(0.0199 英寸)。

[0133] 还如图 30 所示, 股线 L30a 以虚线示出, 直径 d_5 小于 D_1 的 50%。在该实施方式中, 两个或多个股线 L30a 被用于保持开口间隙 G。以透视图示出了具有两个股线 L30a 的缆绳 300, 其具有形成图 34 中螺旋槽的间隙 G。

[0134] 在图 32 中, 示出了缆绳 3010 的另一实施方式。外股线 3011、内股线 3012 和 3013 形成了缆绳 3010 的主要结构。股线 L301a 的直径小于外股线 3011 直径的 50%。与图 6 中的两个股线 L301a 处于单个间隙 G 内不同, 股线 L301a 被放置在股线 3010 的任意一侧, 从而形成两个螺旋槽。

[0135] 下面参照图 33, 以透视图示出了 L19 的螺旋形脊。

[0136] 在风洞的操作中, 超过 20MPH 的空气以与形成了图 22(2202) 所示缆绳底面 / 安全网的缆绳成大约 90° 角的方式经过。在所公开的所有丝索中, 气流产生的方向对装置的作用不是至关重要的。不同于气流直接沿缆绳长度向下行进, 空气流过缆绳的所有其他方向被认为是导致至少一定程度的阻力减小。

[0137] 图 31 表示具有 15 个股线的缆绳 3300。股线 3301 形成具有 L31 的外周边。股线 3302 和 3303 形成缆绳 3300 的内芯。L31 在直径上可以比股线 L31 更小(未示出)。

[0138] 所公开的缆绳可以被用在任何风洞或需要采用缆绳的其他环境中, 而不仅仅是再循环风洞中, 所述缆绳在穿过空气时或在空气经过缆绳时遭受的阻力比通常更小。

[0139] 图 35 是表示作为动压的函数的不同缆绳阻力系数的曲线图。在所有的测试缆绳中, 缆绳中的几乎所有股线的直径都大致为 0.019 英寸。线 3401 表示标准扭绞缆绳。线 3403 和 3405 表示具有绕周边缠绕的螺旋形股线 2302 的缆绳 2300。线 3402 表示与图 30 一样、 d_5 为 0.035 英寸的股线。线 3404 表示与图 29 一样、 d_2 为 0.025 的股线。

[0140] 所公开的缆绳通常不会比相同尺寸的标准缆绳花费任何明显更大的制造量。因此, 通过使用这种减阻缆绳产生的任何阻力和噪声的减小以及任何能量消耗的相应节省, 都将导致直接的成本节约。

[0141] 尽管已经参照所示实施方式描述了本发明的装置, 但可以做出多种修改和变化并且结果仍然处于本发明的范围内。在此所公开的具体实施方式不试图或不应当视为进行限制。在此描述的每个装置的实施方式具有多种等同替换。

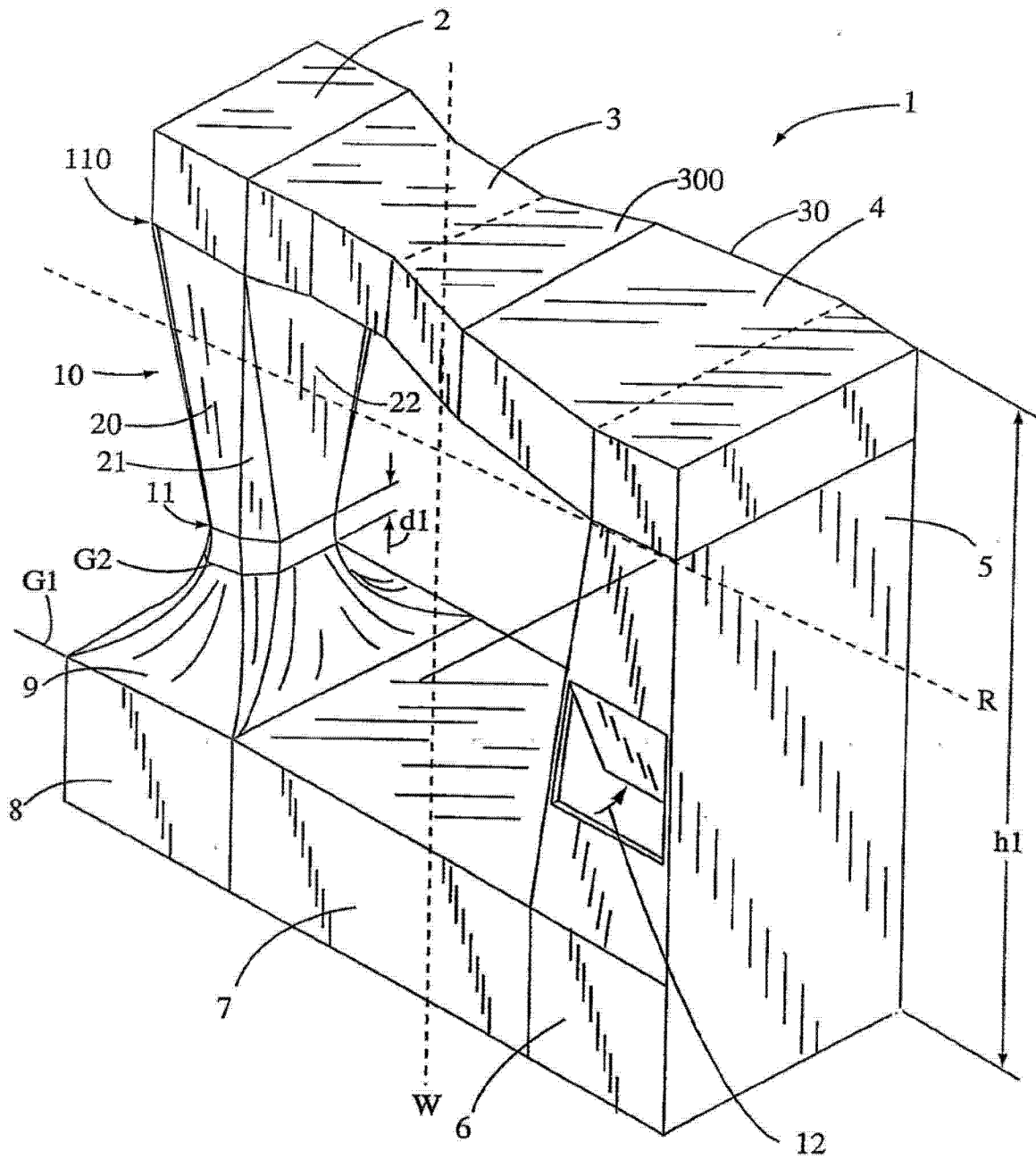


图 1

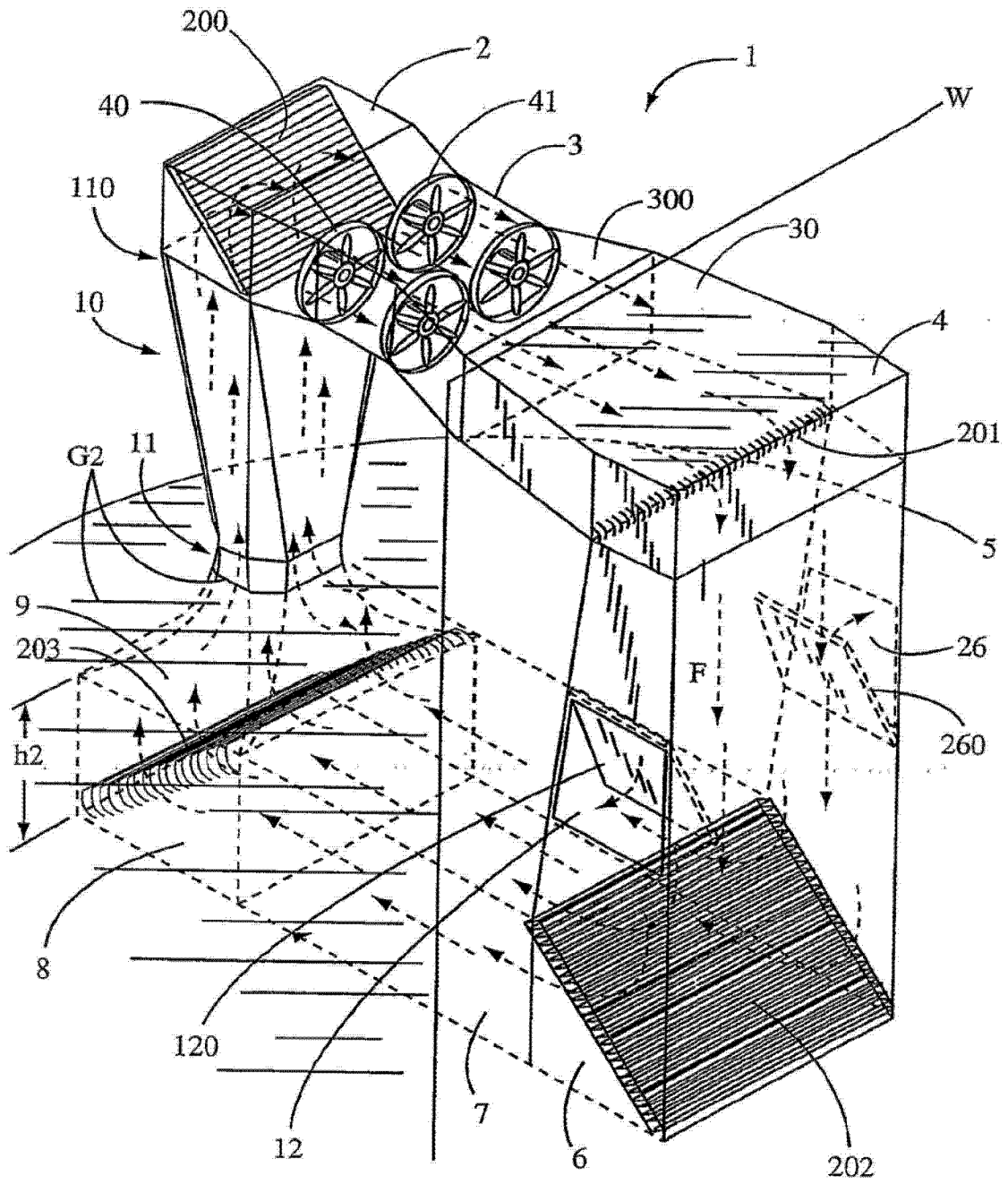


图 2

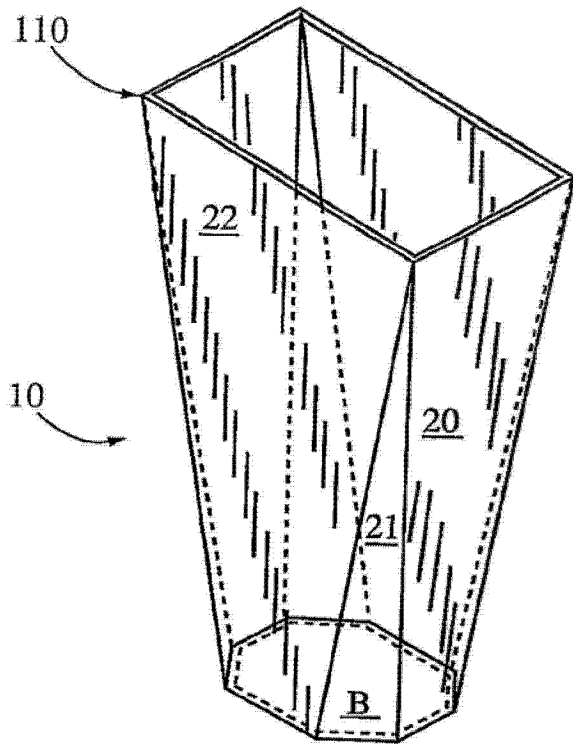


图 3

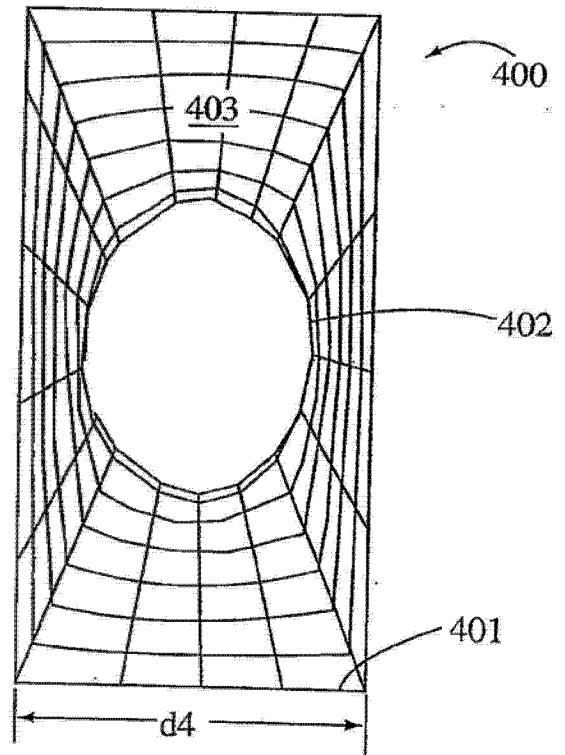


图 4

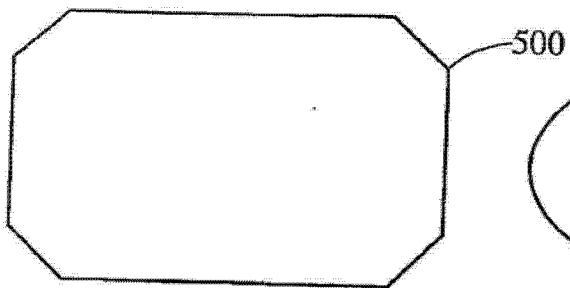


图 5

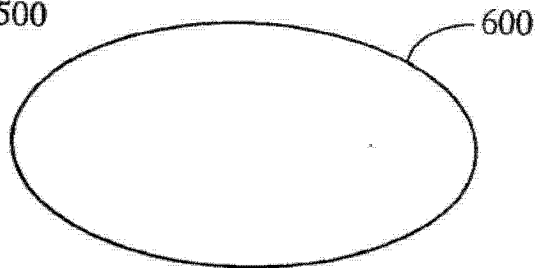


图 6

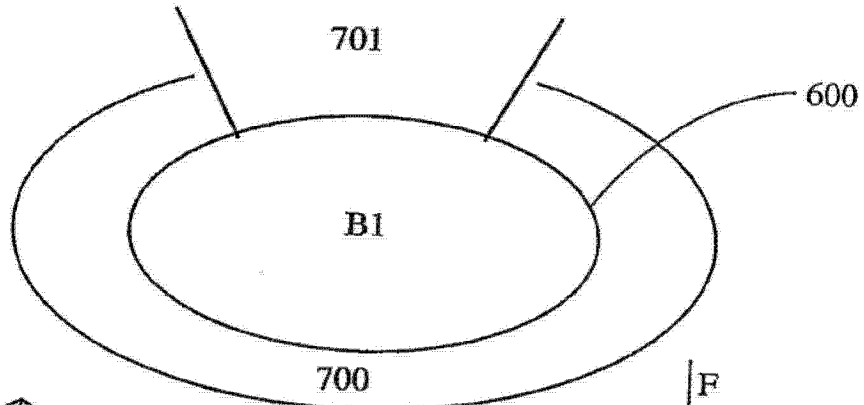


图 7

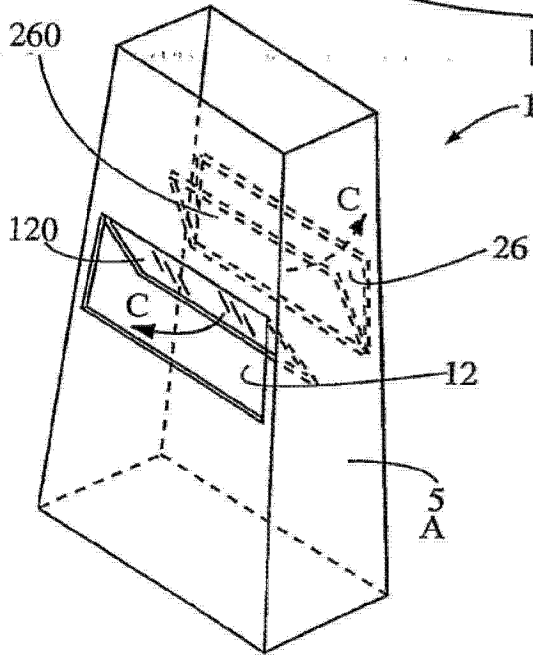


图 9

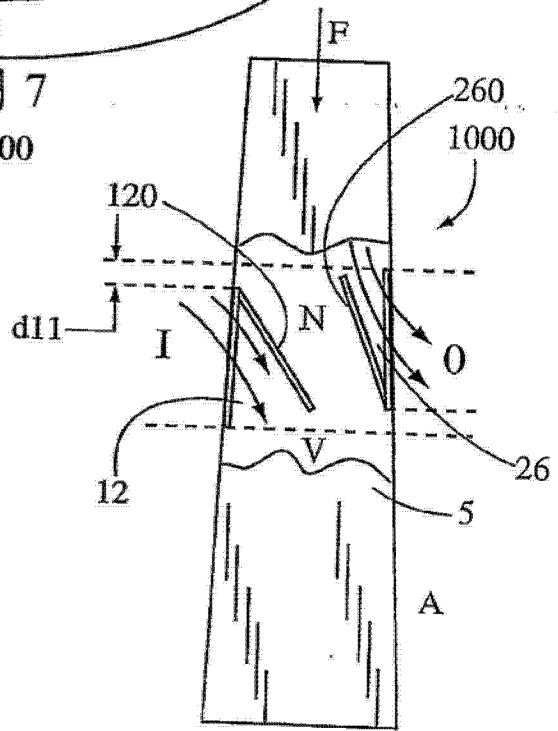


图 10

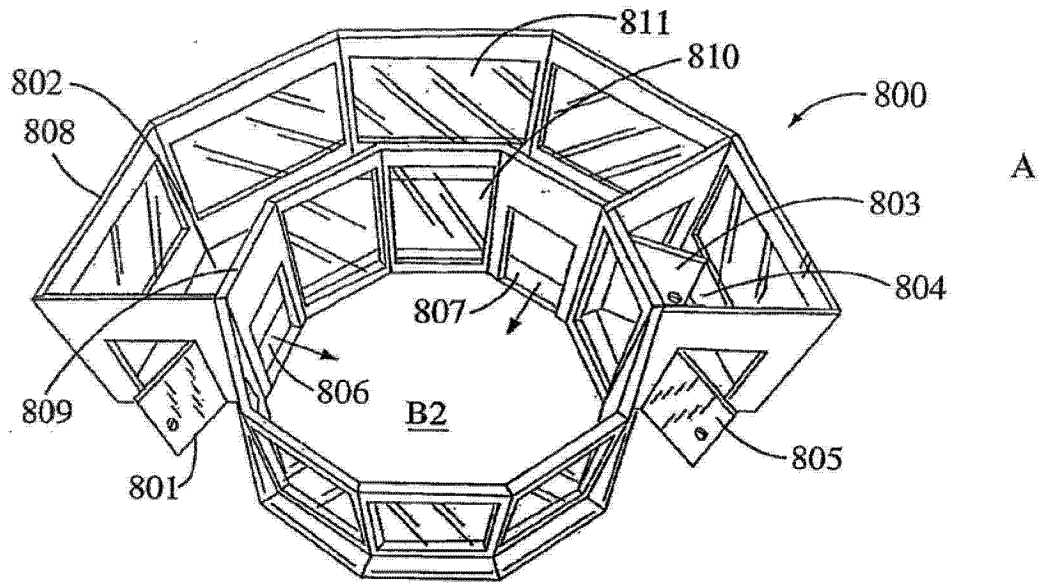


图 8

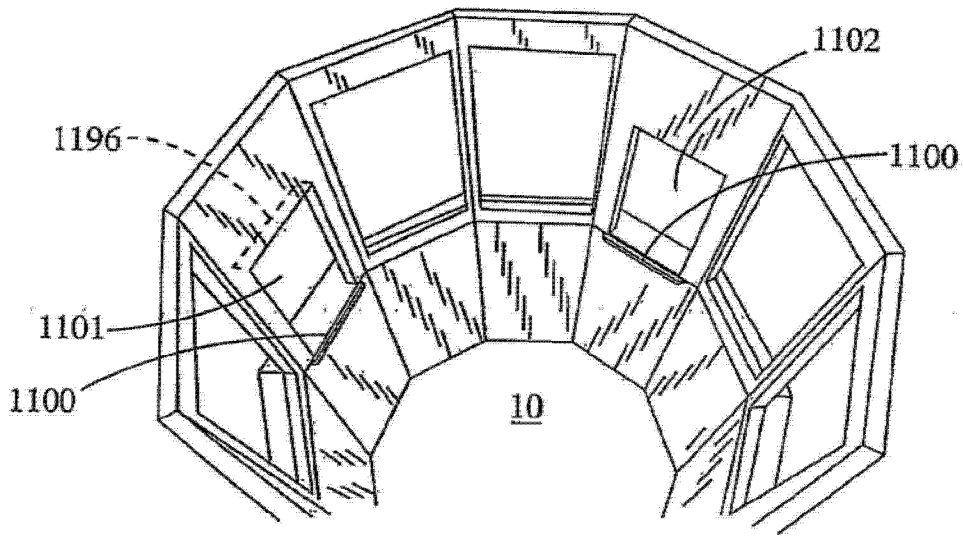


图 11

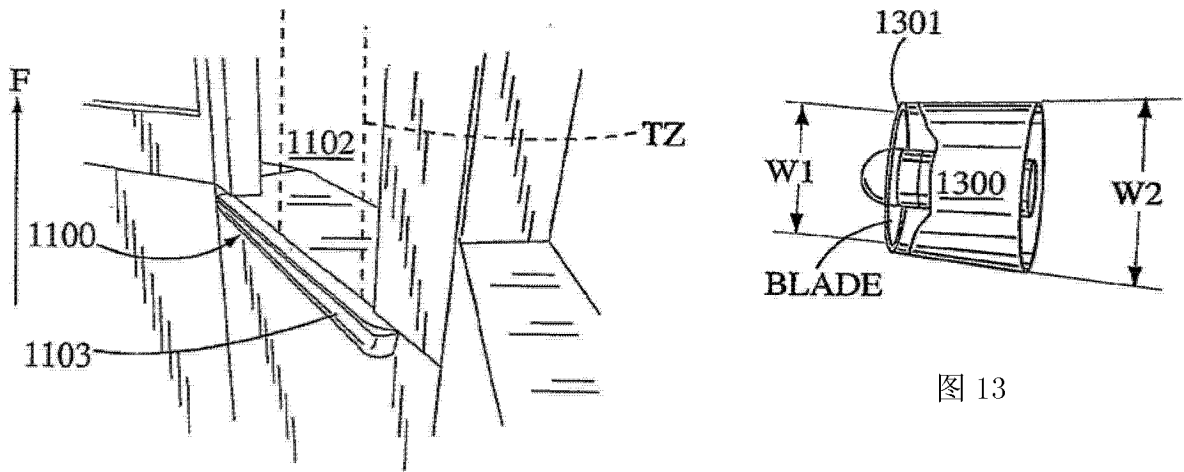


图 12

图 13

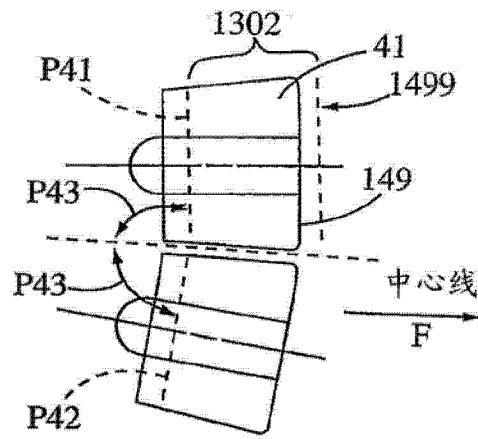


图 14

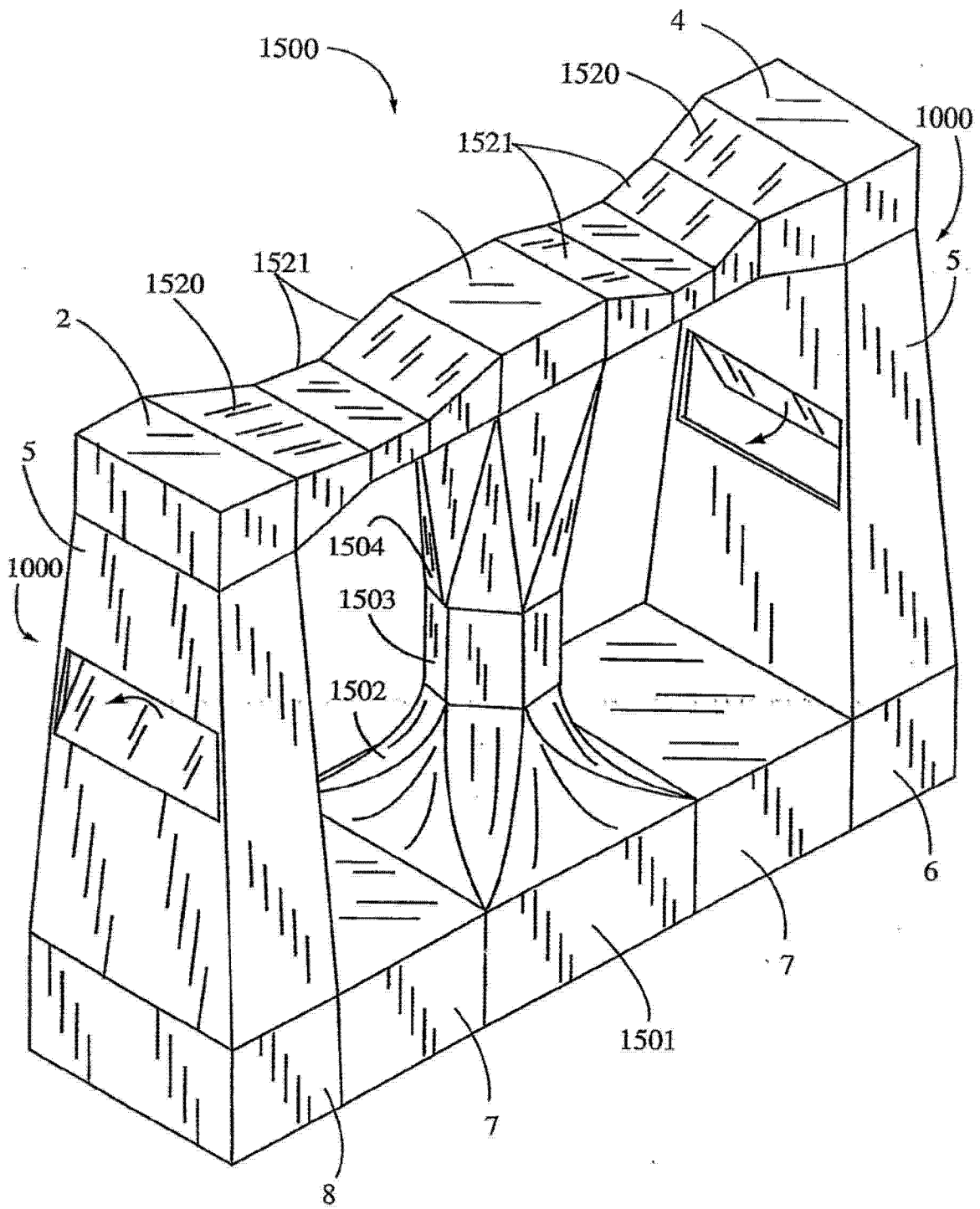


图 15

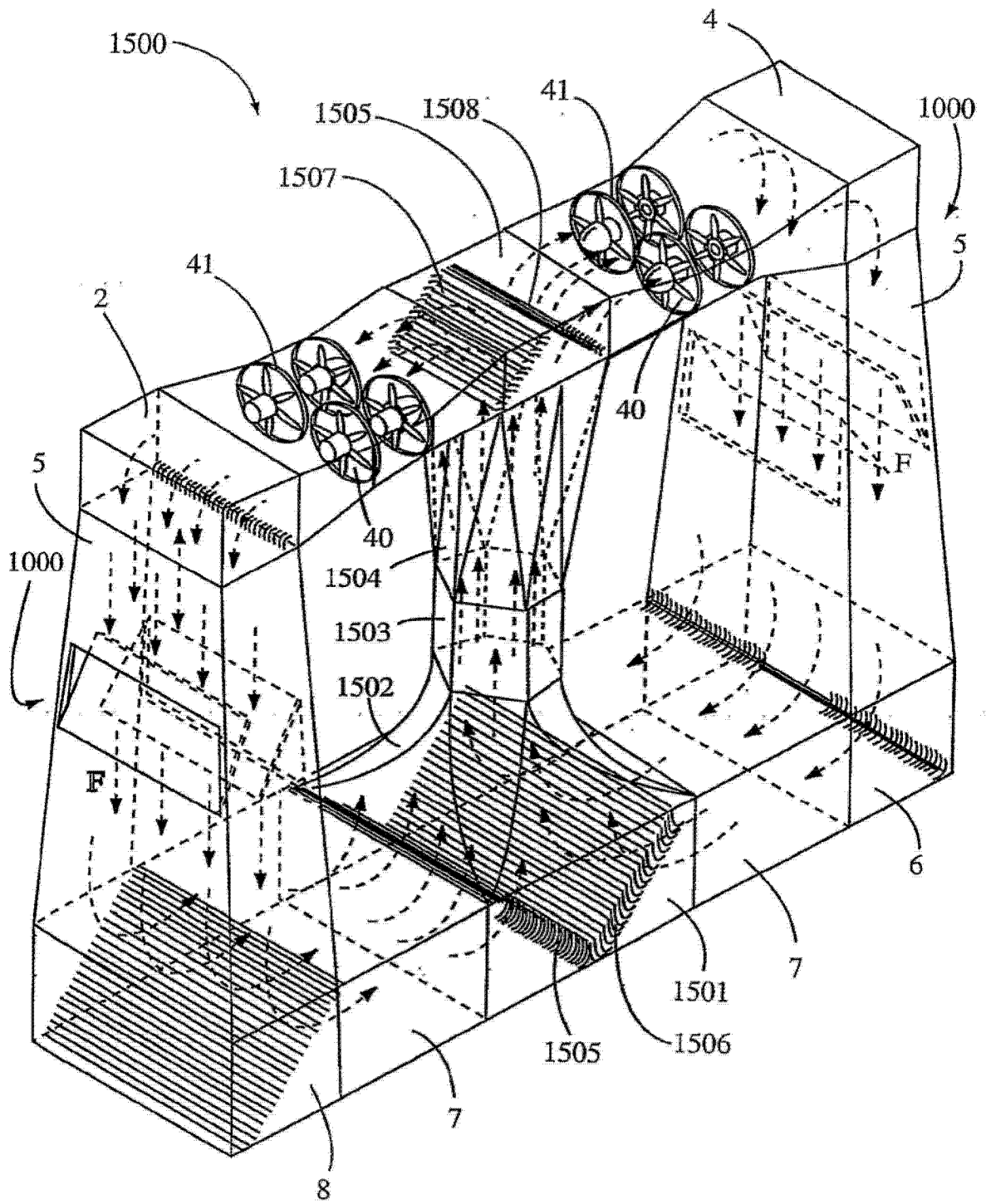


图 16

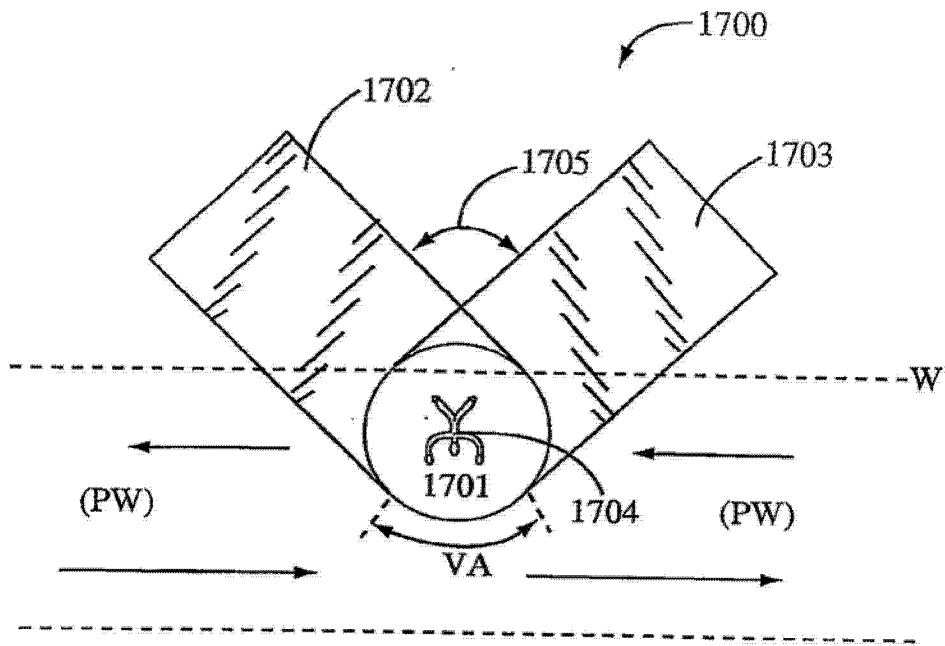


图 17

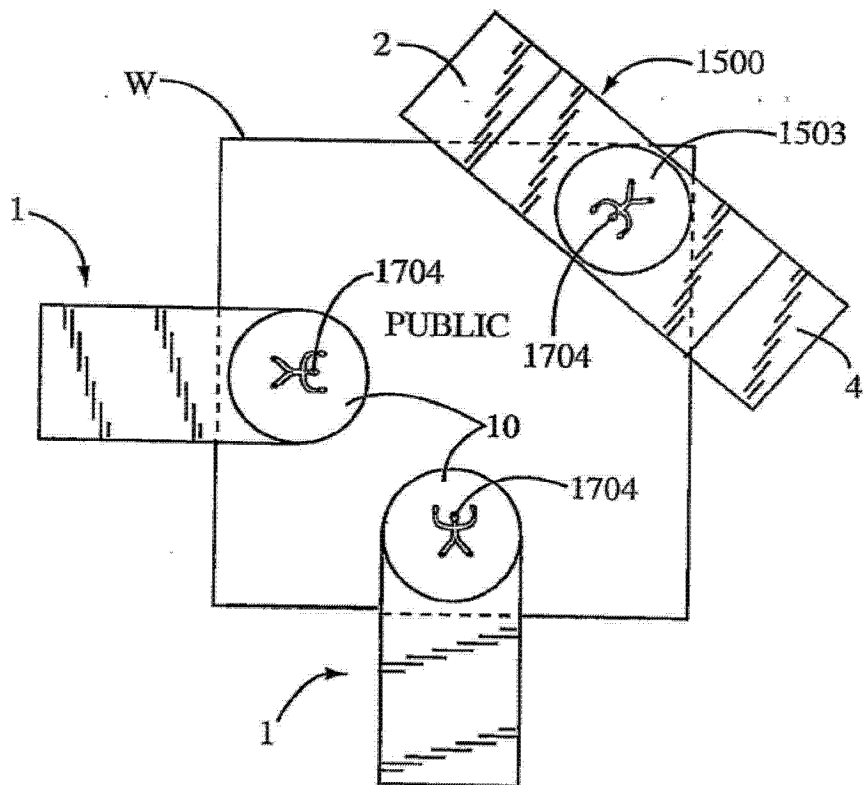


图 19

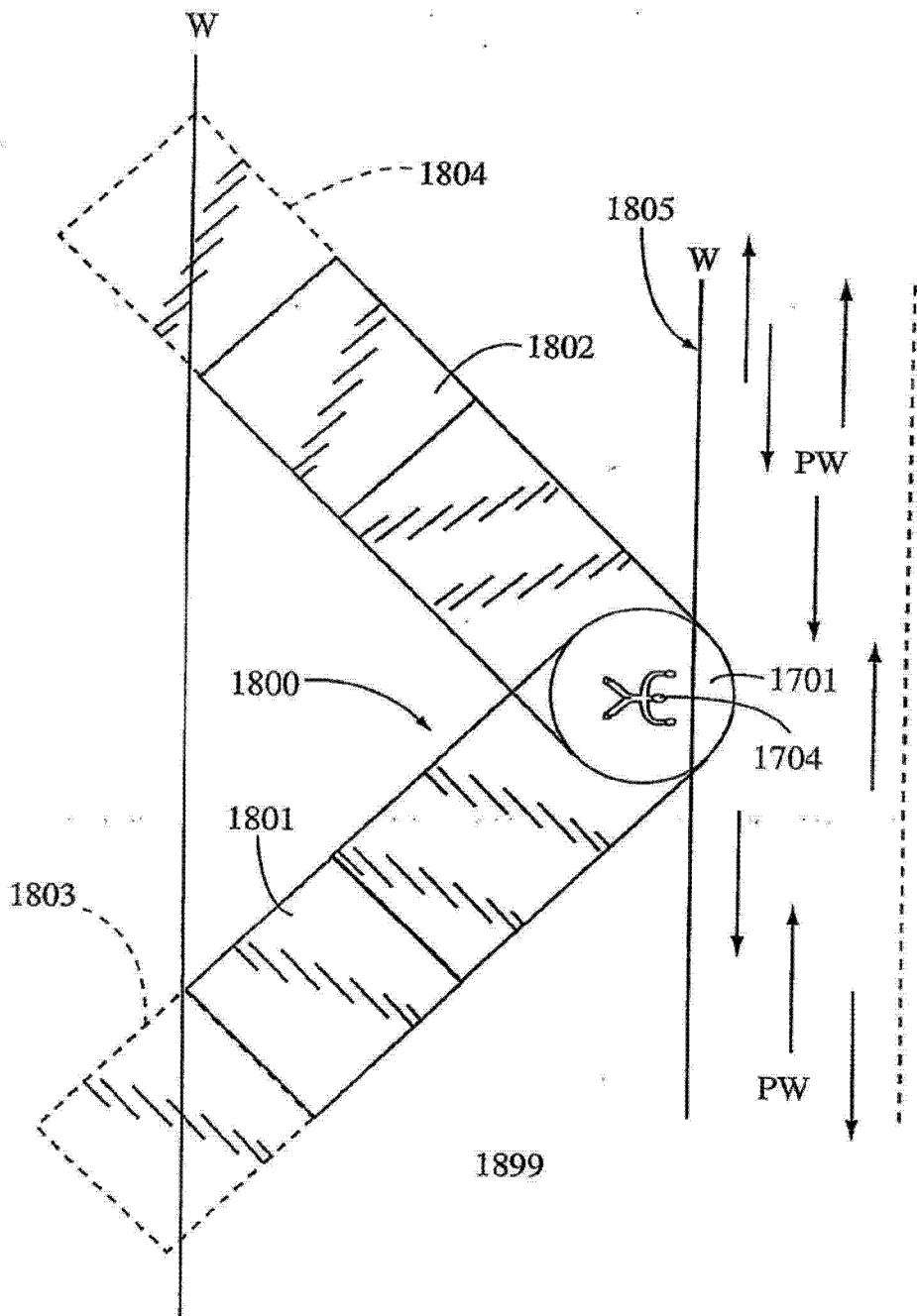


图 18

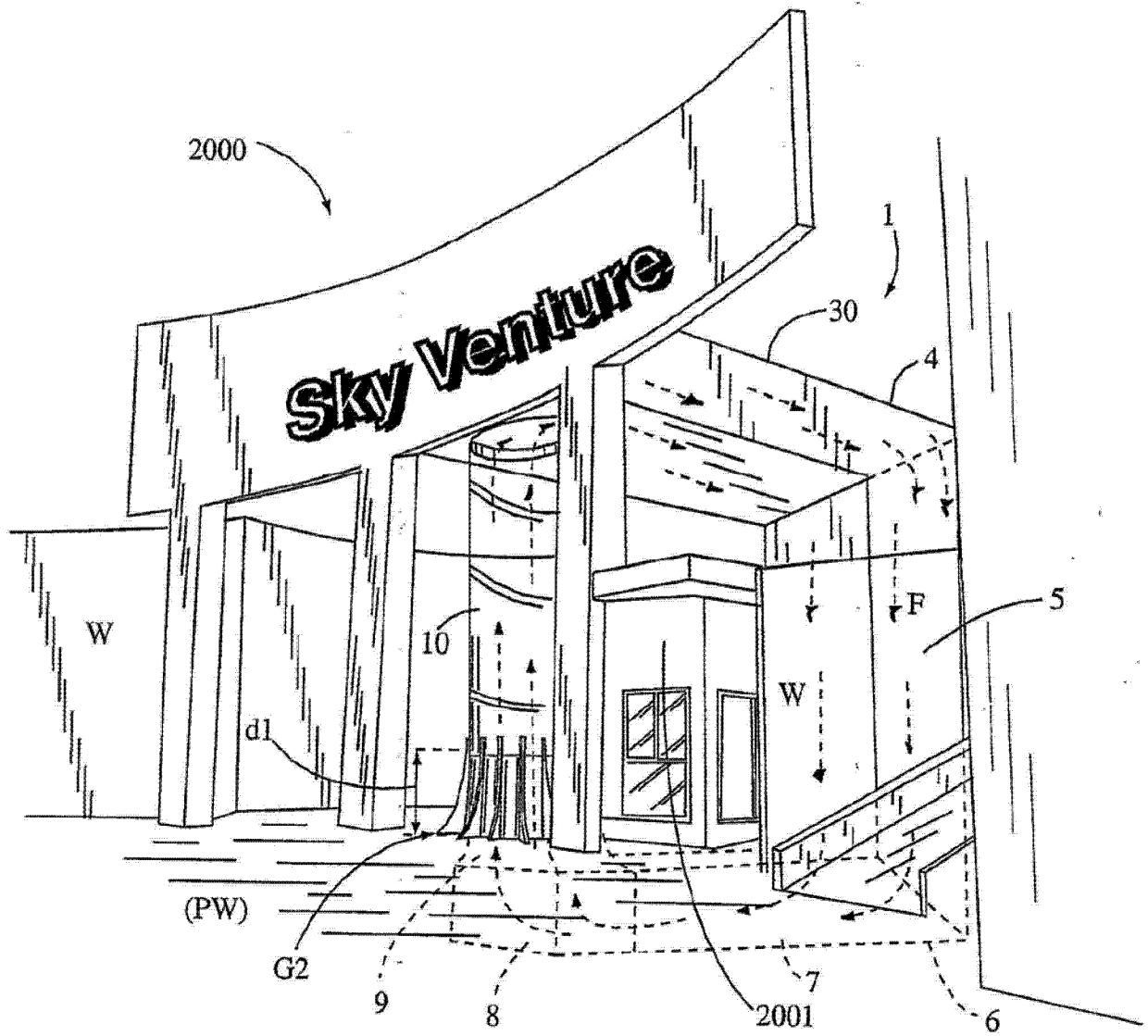


图 20

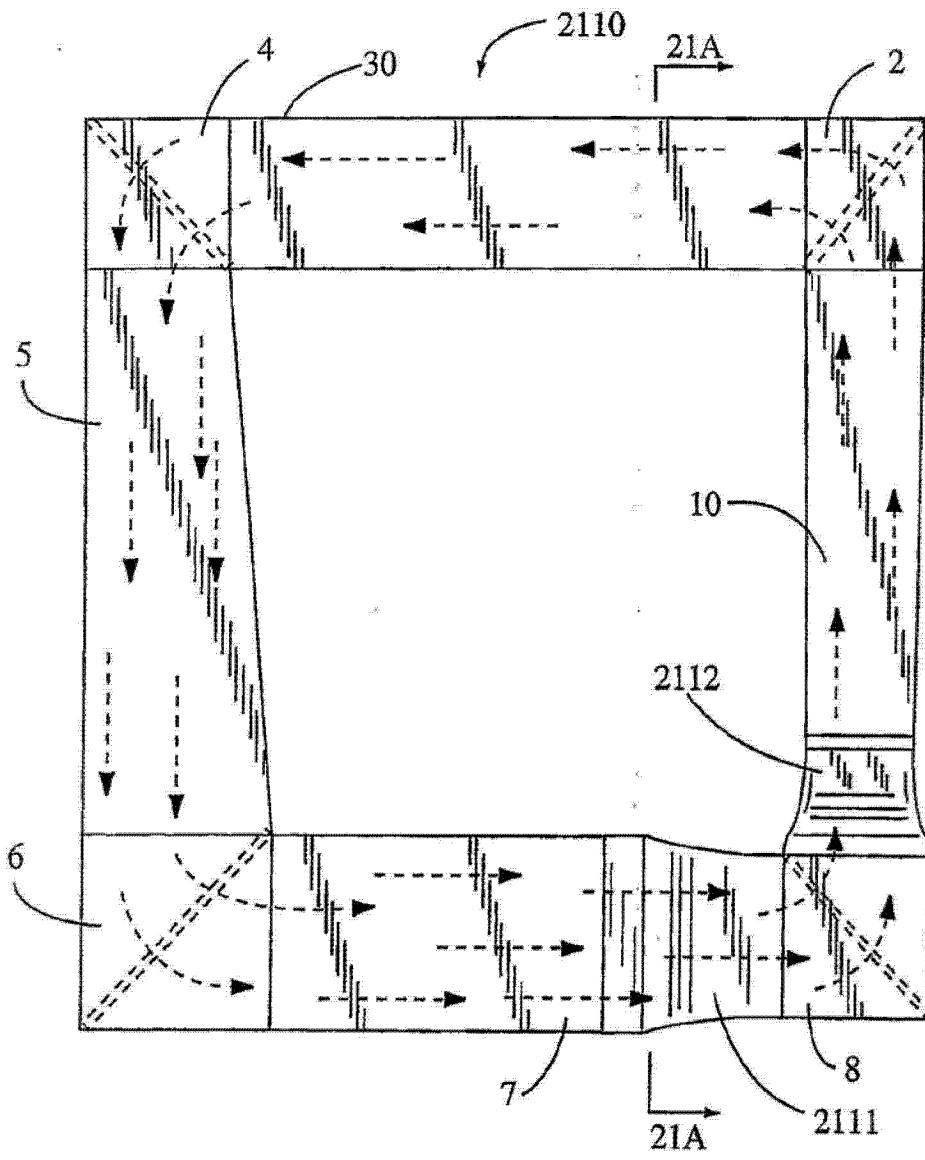


图 21

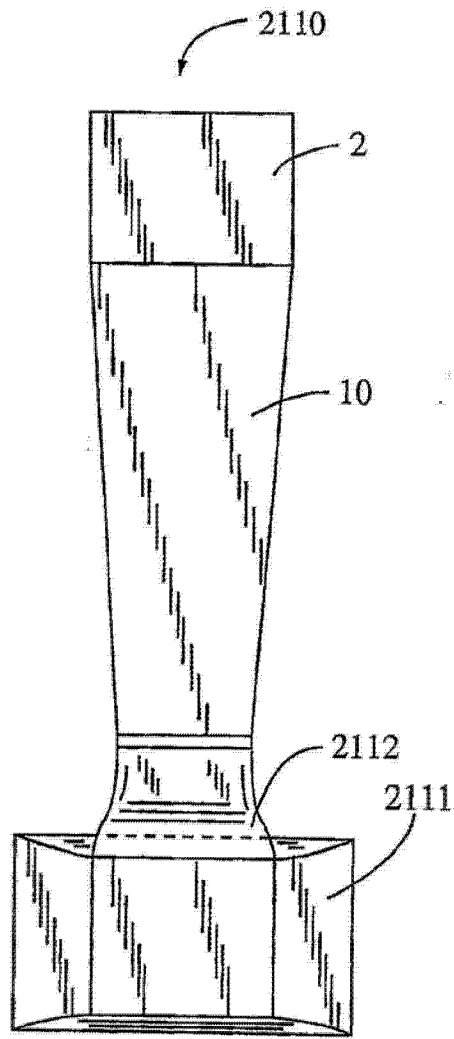


图 21A

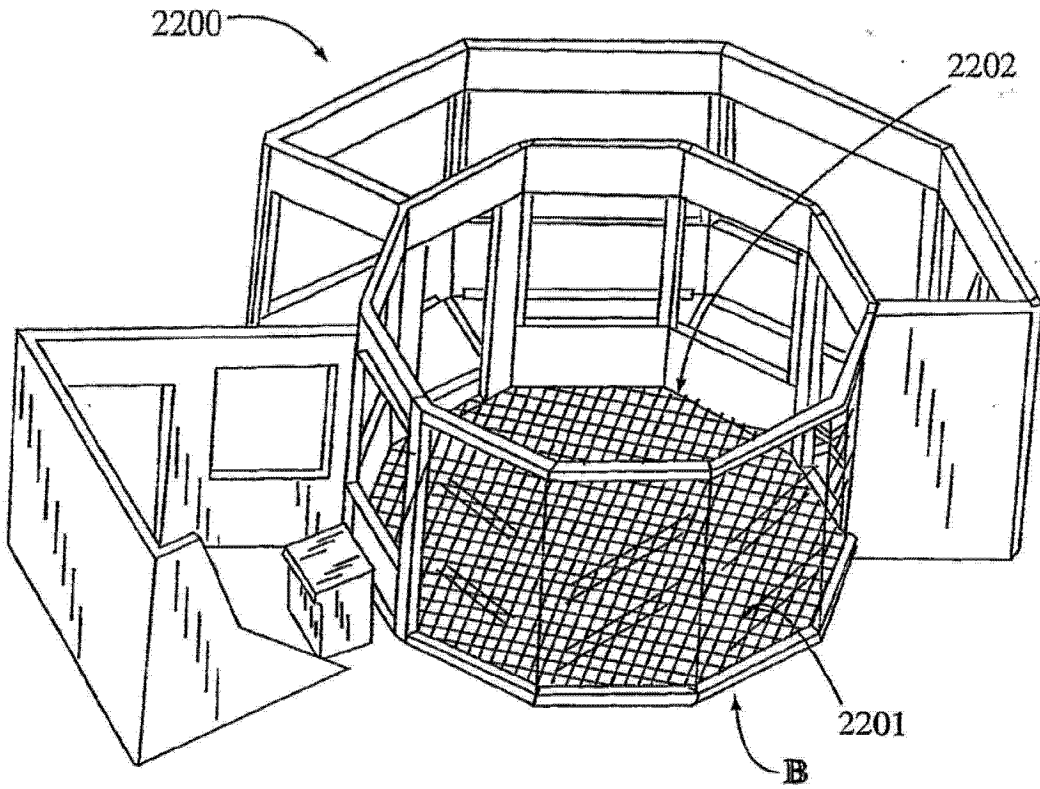


图 22

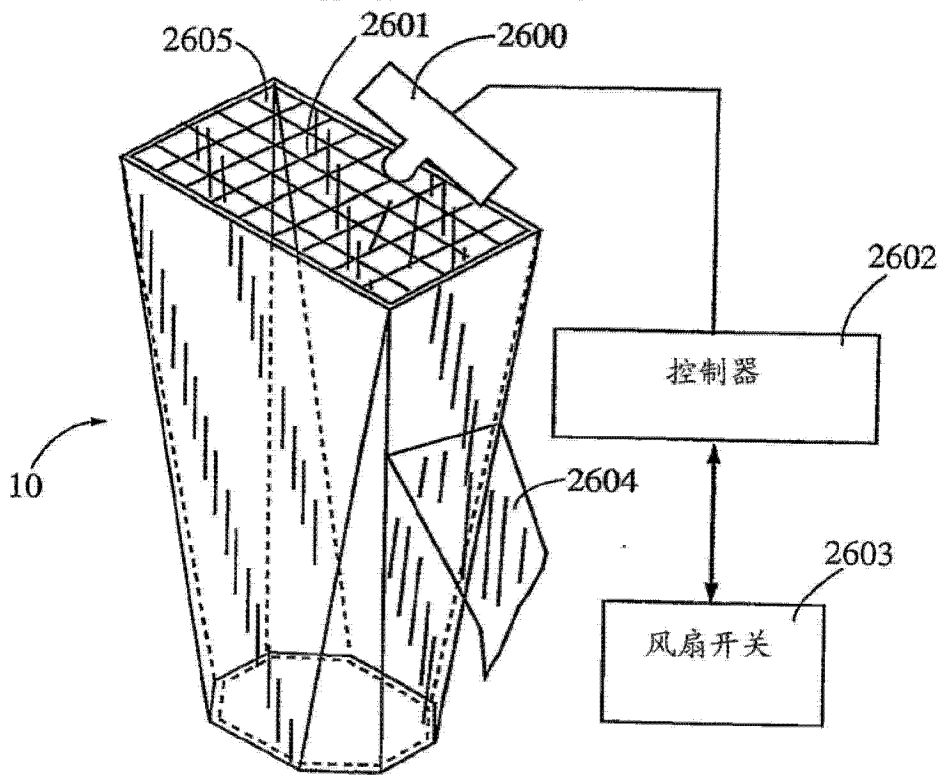


图 23

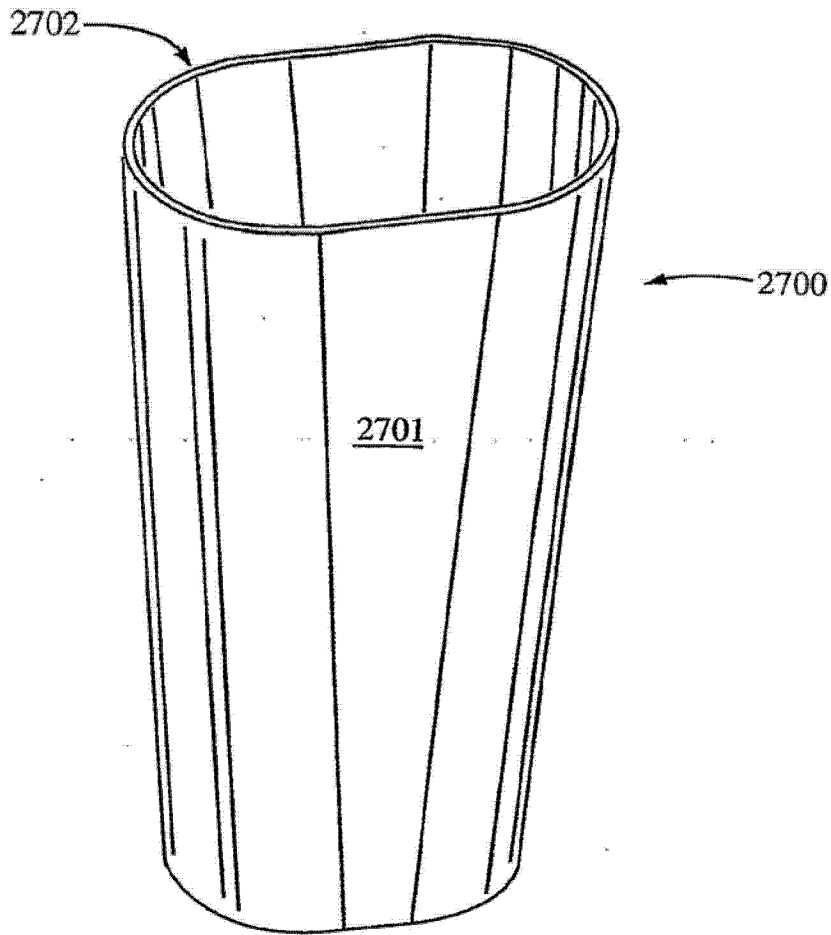


图 24

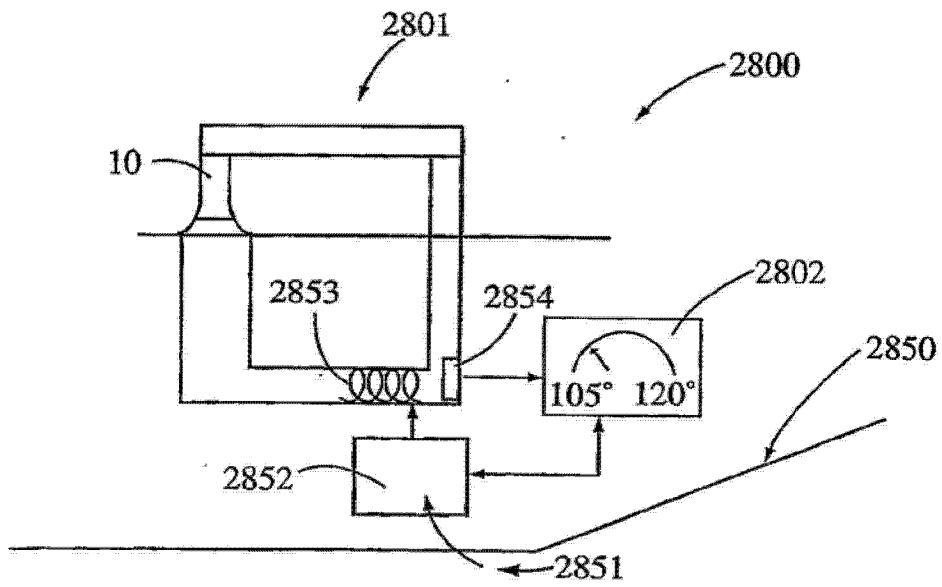


图 25

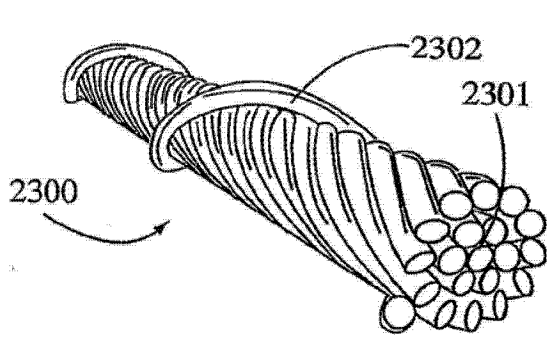


图 26

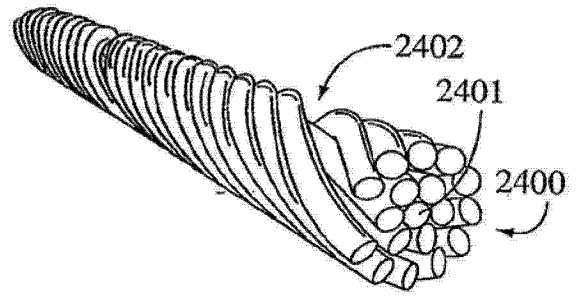


图 27

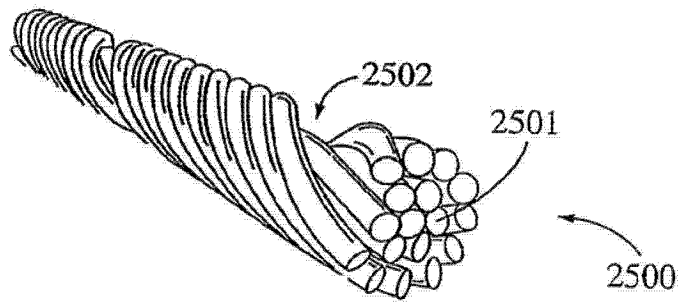


图 28

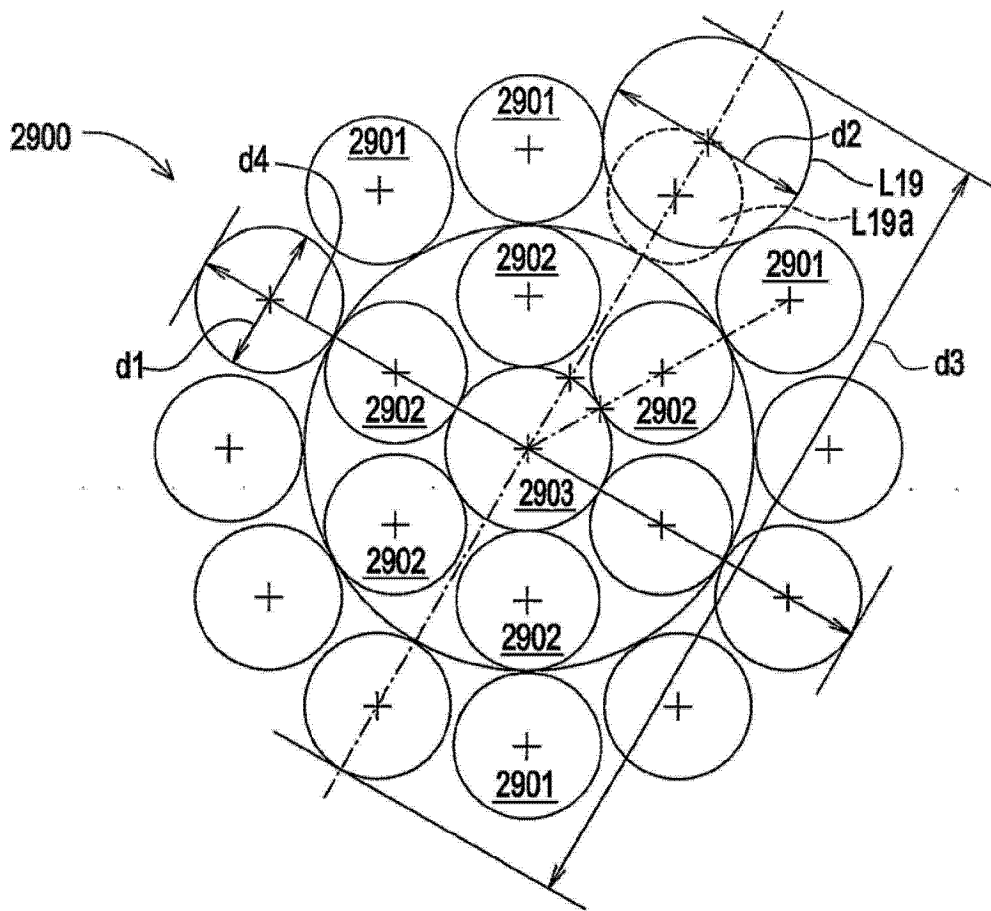


图 29

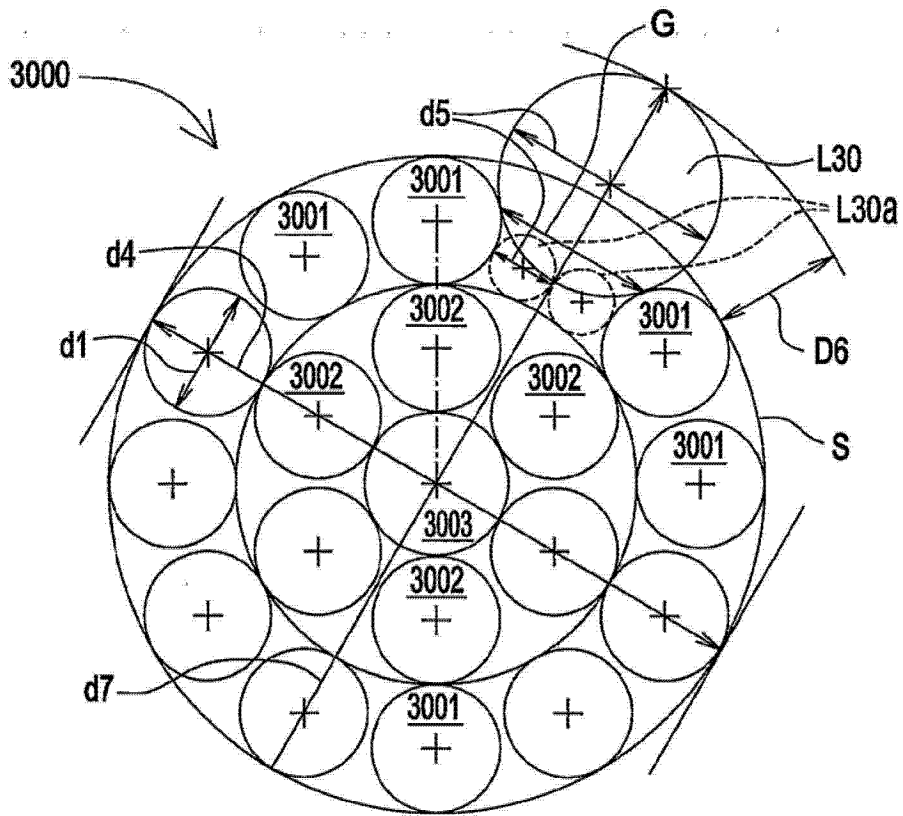


图 30

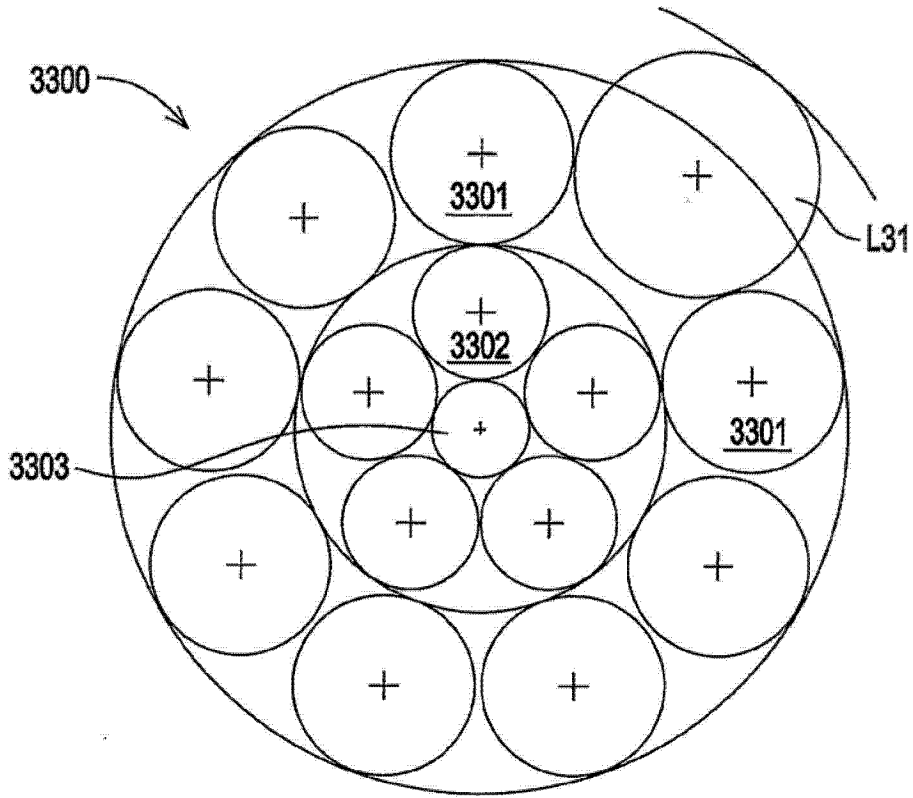


图 31

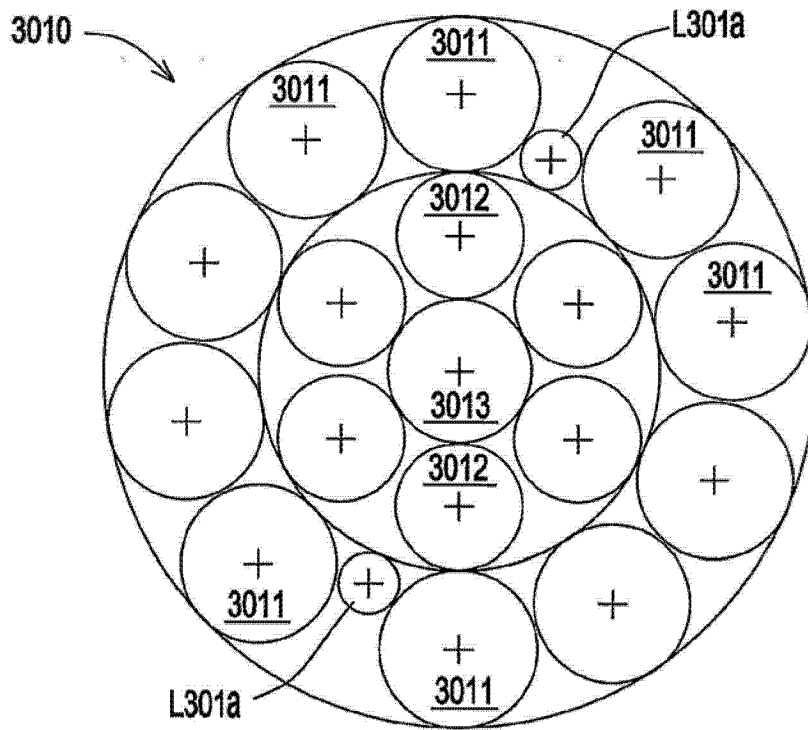


图 32

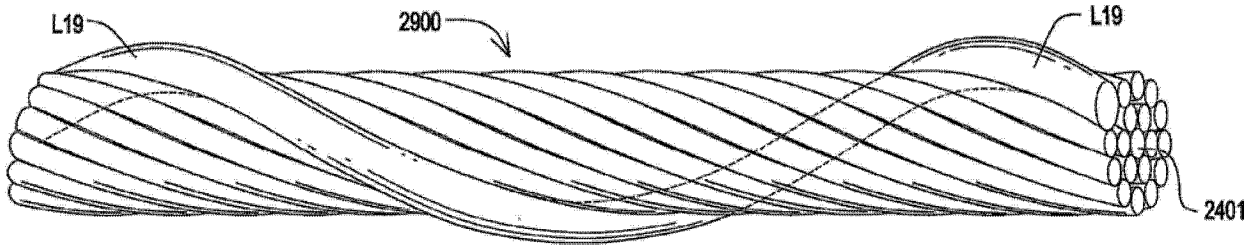


图 33

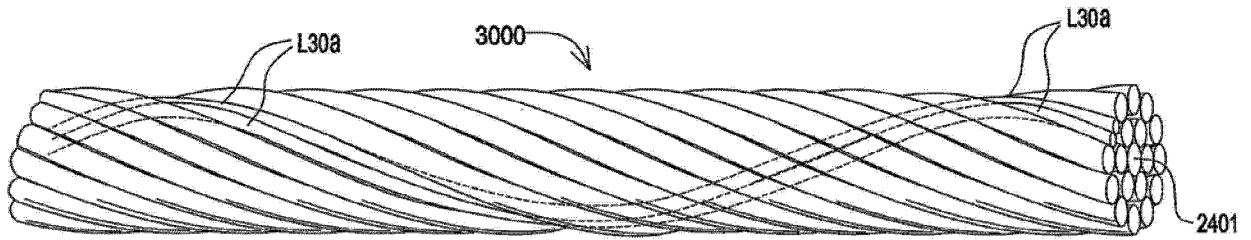


图 34

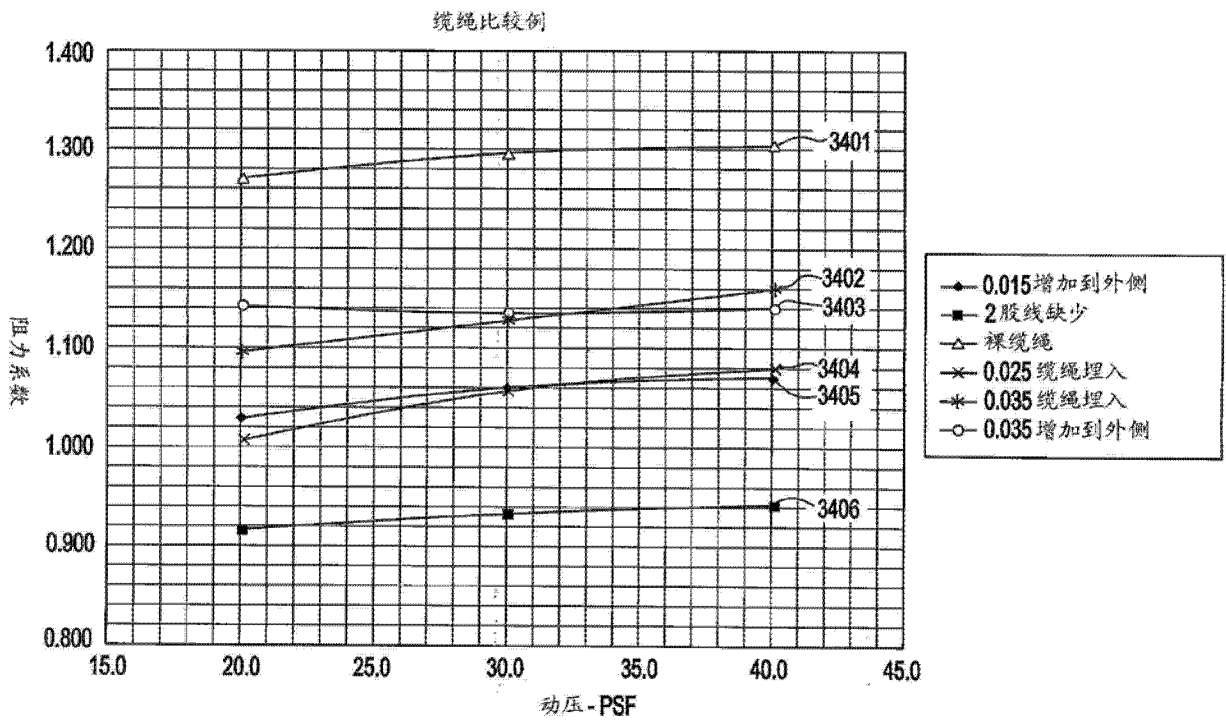


图 35